



**Universidade Federal Rural de Pernambuco**  
**Pró-Reitoria de Pesquisa e Pós-Graduação**  
**Departamento de Física**

**Programa de Pós-Graduação em Física Aplicada**

**TRAJETÓRIAS DA LUZ NA PROXIMIDADE DE UM BURACO NEGRO  
DE SCHWARZSCHILD PERFURADO POR UMA CORDA CÓSMICA**

*Lucas Leandro Amorim Pereira*

Dissertação de Mestrado

Recife - PE

16 de Outubro de 2024

Universidade Federal Rural de Pernambuco  
Pró-Reitoria de Pesquisa e Pós-Graduação  
Departamento de Física

*Lucas Leandro Amorim Pereira*

**TRAJETÓRIAS DA LUZ NA PROXIMIDADE DE UM BURACO NEGRO  
DE SCHWARZSCHILD PERFURADO POR UMA CORDA CÓSMICA**

Trabalho apresentado ao Programa de Pós-Graduação em Física Aplicada do Departamento de Física da Universidade Federal Rural de Pernambuco, como requisito parcial para obtenção do grau de Mestre em Física Aplicada.

**Orientador: Prof. Dr. Antônio de Pádua Santos**

**Recife - PE  
16 de Outubro de 2024**

Dados Internacionais de Catalogação na Publicação  
Sistema Integrado de Bibliotecas da UFRPE  
Bibliotecário(a): Ana Catarina Macêdo – CRB-4 1781

P436t Pereira, Lucas Leandro Amorim.

Trajetórias da luz na proximidade de um buraco negro de schwarzschild perfurado por uma corda cósmica / Lucas Leandro Amorim Pereira. – Recife, 2024.

79 f.; il.

Orientador(a): Antônio de Pádua Santos

Dissertação (Mestrado) Universidade Federal Rural de Pernambuco, Programa de Pós-Graduação em Física Aplicada, Recife, BR-PE, 2024.

Inclui referências.

1. Buracos negros (Astronomia). 2. Einstein, Equações de. 3. Relatividade geral (Física). 4. Schwarzschild, Karl, 1873-1916 I. Santos, Antônio de Pádua, orient. II. Título

CDD 621

**UNIVERSIDADE FEDERAL RURAL DE PERNAMBUCO**  
**PRÓ-REITORIA DE PESQUISA E PÓS-GRADUAÇÃO**  
**PROGRAMA DE PÓS-GRADUAÇÃO EM FÍSICA APLICADA**

**TRAJETÓRIAS DA LUZ NA PROXIMIDADE DE UM BURACO NEGRO DE  
SCHWARZSCHILD PERFURADO POR UMA CORDA CÓSMICA**

*Lucas Leandro Amorim Pereira*

Dissertação julgada adequada para obtenção  
do título de mestre em Física, defendida e  
aprovada por unanimidade em 16 de Outubro  
de 2024 pela Comissão Examinadora.

Orientador:

---

Prof. Dr. Antônio de Pádua Santos  
DF/ UFRPE

Banca Examinadora:

---

Prof. Dr. Adauto José Ferreira de Souza  
DF/ UFRPE

---

Prof. Dr. Alexandre Manoel de Moraes Carvalho  
Examinador Externo - Instituto de Física /UFAL

*“ O importante é não parar de questionar; a curiosidade tem sua própria razão de existir.”*

*Albert Einstein*

# Agradecimentos

Primeiramente à Deus por toda saúde força para superar cada dificuldade e obstáculo durante esse tempo como Mestrando.

Aos meus pais, Roselice Pereira e Jeremias Pereira, meus avós maternos Arcângela Amorim e Ermínio Pereira, meus avós Paternos Maria das Graças Pereira e José Atanásio Pereira, por todo amor, carinho, conselhos e ajudas para que eu pudesse conseguir meus objetivos. Por todas as forças nos momentos mais difíceis e pela confiança nos melhores momentos. A minha outra Mãe Tatiane Coelho que sempre me propôs amor e carinho desde criança e que sempre esteve ao meu lado quando precisei. A minha tia Rosete Barbosa e Minha Avó Vicentina Pereira por toda ajuda que me deram durante os anos em que convivi com elas, pela paciência e carinho e afeto.

Ao Prof. Dr. Antônio de Pádua Santos, por sua excelente orientação durante os dois anos de Mestrado e também no desenvolvimento deste trabalho, por todos os conselhos dado ao longo desses anos, por sua paciência e credibilidade para comigo. Bem como, gostaria de agradecer aos Professores: Dr. Adauto José, Dr. José Ferraz, Dr. Anderson Barbosa e a todos os membros que fazem parte do curso de Pós-Graduação em Física Aplicada da UFRPE.

Aos meus amigos do Mestrado: Marcos André (Piauí), João Victor, Miqueias Carneiro, Anderson Fernandes, Ruan Victor, Johnny José, Laedson Silva, Antônio Neto (*Toinho*).

Aos meus amigos/irmãos desde a graduação: Darlene Pereira e Gustavo Santana pela amizade sincera e apoio em todos os momentos.

Em especial a Jhowcy Rodrigues por toda a paciência, apoio, dedicação, ajuda, por sua companhia, amor e carinho nos bons e piores momentos.

# Resumo

Neste trabalho vamos discutir sobre a interação entre um Buraco Negro de Schwarzschild e uma Corda cósmica. Onde esse trabalho foi inspirado a uma pesquisa publicada na “*The Astrophysical Journal Letters*” com o seguinte tema: **A Nonthermal Radio Filament Connected to the Galactic Black Hole?** ( Um filamento de rádio não térmico conectado ao buraco negro galáctico?). Nessa pesquisa foi investigado o um filamento de rádio não térmico (em inglês, *nonthermal radio filament*) (NTF) que foi encontrado próximo ao Buraco Negro *Sagittarius A\**, onde foram examinados implicações potenciais, onde foi considerado a possibilidade de que esse filamento seja a manifestação de uma *Corda Cósmica*. Com isso, através da *Equação de Campo de Einstein* chegamos a *Métrica de Schwarzschild* que descreve o espaço-tempo ao redor de uma massa esférica não carregada e não rotativa, como um Buraco Negro de Schwarzschild. Esta é uma solução exata das equações de campo de Einstein na Relatividade Geral e é expressa em coordenadas esféricas  $(t, r, \theta, \phi)$ . Ao inserirmos o *déficit angular* da Métrica da Corda cósmica na Métrica de Schwarzschild, conseguimos obter o comportamento de uma partícula nas proximidades de um Buraco Negro de Schwarzschild perfurado por uma Corda cósmica.

**Palavras-chave:** Buraco Negro de Schwarzschild, Cordas Cósmicas, Relatividade Geral

# Abstract

In this paper we will discuss the interaction between a Schwarzschild Black Hole and a Cosmic String. This paper was inspired by a research published in “*The Astrophysical Journal Letters*” with the following theme: **A Nonthermal Radio Filament Connected to the Galactic Black Hole?** In this research, a nonthermal radio filament (NTF) that was found near the *Sagittarius A\** Black Hole was investigated, where potential implications were examined, where the possibility that this filament is the manifestation of a *Cosmic String* was considered. With this, through *Einstein’s Field Equation* we arrive at the *Schwarzschild Metric* that describes the space-time around an uncharged and non-rotating spherical mass, such as a Schwarzschild Black Hole. This is an exact solution of Einstein’s field equations in General Relativity and is expressed in spherical coordinates  $(t, r, \theta, \phi)$ . By inserting the *angular deficit* of the Cosmic String Metric into the Schwarzschild Metric, we can obtain the behavior of a particle in the vicinity of a Schwarzschild Black Hole pierced by a Cosmic String.

**Keywords:** Schwarzschild Black Hole, Cosmic Strings, General Relativity

# Lista de Figuras

1.1	O Filamento SgrA Oeste. Fonte: (Morris e Zhao 2017) . . . . .	3
2.1	Transporte paralelo de um vetor ao longo do ABC. Fonte: (Crowell 2024) . . . . .	8
2.2	O transporte paralelo de um vetor ao longo de uma curva de P para Q. (Lambourne 2010). . . . .	9
2.3	Vetores de base apontando em diferentes direções para cada ponto. Fonte: (Lambourne 2010). . . . .	9
2.4	O vetor tangente $\mathbf{t}$ à curva C no ponto P. Fonte: (Lambourne 2010) . . . . .	14
3.1	Formação de átomos mais densos por fusão nuclear de uma estrela super massiva. . . . .	26
3.2	O ciclo de vida de uma estrela. Imagem fora da escala. Fonte: (Grossmann 2012) . . . . .	27
3.3	Foto do Buraco Negro M87*. Fonte: (Medeiros et al. 2023) . . . . .	28
3.4	Foto do Buraco Negro Sgr A*. Fonte: (Collaboration et al. 2022) . . . . .	29
3.5	Representação de um Buraco Negro. Fonte: (Almeida 2021) . . . . .	30
3.6	Simulação orbital para uma partícula caindo a partir de uma órbita elíptica perto de um Buraco Negro de Schwarzschild. Fonte: autoria própria. . . . .	35
3.7	Precessão do periélio em roseta criado pela rotação de uma órbita quase elíptica em seu próprio plano. Fonte: (Lambourne 2010). . . . .	38
3.8	déficit de ângulo do espaço-tempo. Fonte: (Santos et al. 2016). . . . .	46
3.9	Trajetórias da luz em torno de uma Corda cósmica com déficit angular em diferentes valores de $\alpha$ . Fonte: autoria própria. . . . .	47
4.1	Representação gráfica de uma geodésica no espaço-tempo de Schwarzschild. Imagem à esquerda demonstrando detalhes da trajetória de uma partícula e à direita, órbita no formato de <i>roseta</i> . Fonte: (Carneiro 2023). . . . .	49
4.2	Partícula de luz interagindo com um Buraco Negro de Schwarzschild perfurado por uma corda cósmica. Fonte: autoria própria. . . . .	50
4.3	Partícula de luz interagindo com um Buraco Negro de Schwarzschild perfurado por uma corda cósmica. Fonte: autoria própria. . . . .	51
4.4	Partícula de luz interagindo com um Buraco Negro de Schwarzschild perfurado por uma corda cósmica. Fonte: autoria própria. . . . .	51
4.5	Fonte: autoria própria. . . . .	52

# Sumário

<b>Agradecimentos</b>	<b>V</b>
<b>Resumo</b>	<b>VI</b>
<b>Abstract</b>	<b>VII</b>
<b>Lista de Figuras</b>	<b>VIII</b>
<b>1 Introdução</b>	<b>2</b>
<b>2 Teoria da Relatividade Geral</b>	<b>5</b>
2.1 Métricas e Geometria Riemanniana . . . . .	6
2.2 Transporte Paralelo e Coeficiente de Conexão . . . . .	7
2.2.1 Derivada Covariante . . . . .	11
2.3 Geodésicas . . . . .	13
2.4 Tensor de Curvatura de Riemann . . . . .	17
2.5 Tensor Energia - Momento . . . . .	18
2.5.1 Tensor Energia - Momento para Campos Eletromagnéticos . . . . .	19
2.6 Tensor de Einstein . . . . .	19
2.6.1 Identidades de Bianchi . . . . .	20
2.7 Equação de Campo de Einstein . . . . .	23
<b>3 Buraco Negro de Schwarzschild e a Corda Cósmica</b>	<b>25</b>
3.1 Buraco Negro . . . . .	25
3.1.1 Formação de um Buraco Negro . . . . .	26
3.1.2 Características de um Buraco Negro . . . . .	29
3.2 Buraco Negro de Schwarzschild . . . . .	30
3.2.1 Horizonte de eventos de Schwarzschild . . . . .	33
3.2.2 Órbitas Circulares Estáveis mais Internas (ISCO) . . . . .	34
3.2.3 Órbitas nas Proximidades de um Buraco Negro de Schwarzschild . . . . .	38
3.3 Cordas Cósmicas . . . . .	39
<b>4 Interação entre o Buraco Negro de Schwarzschild e a Corda Cósmica</b>	<b>48</b>

---

4.1	<i>déficit angular</i> $\alpha \leq 1$ : . . . . .	49
4.2	<i>déficit angular</i> $\alpha > 1$ : . . . . .	52
<b>5</b>	<b>Conclusões</b>	<b>53</b>
	<b>Referências Bibliográficas</b>	<b>56</b>

# Capítulo 1

## Introdução

A *Cosmologia* é a linha de estudos da Astronomia que lida diretamente com a origem do Universo por meio do uso de aparelhos tecnológicos e de cálculos físicos avançados. No passado, a Cosmologia foi utilizada pelos pré-socráticos para descobrir a possível origem do Universo por meio de observações e especulações, onde o termo Cosmologia tem sua raiz no idioma grego antigo, derivada dos termos *Cosmos* (Universo) e *Logos* (razão, organização racional) (Souza 2004).

Em 1917 foi o ano do nascimento da Cosmologia Moderna, pois foi quando Físico alemão Albert Einstein (1879-1955) publicou um artigo no qual as suas recém propostas equações do campo gravitacional eram usadas para estudar a Física do Universo. Esses resultados contidos nesse artigo são hoje conhecidos como o modelo cosmológico de Einstein e as equações do campo gravitacional utilizadas neste modelo foram as mesmas que deram origem à *Teoria da Relatividade Geral*. Nesse trabalho, Einstein assumiu que o Universo pode ser tratado como um objeto único, uma entidade física única, e que o estudo do Universo como um todo é possível de ser feito por meio das leis da Física. Além disso, para Einstein o objetivo da cosmologia moderna é obter a estrutura geométrica e a distribuição de matéria do universo (Ribeiro e Videira 2011).

Portanto, é através dos estudos de Einstein e de outros Físicos, como: *Edwin Hubble* (1889-1953), *Stephen Hawking* (1942-2018), *Karl Schwarzschild* (1873-1916) e entre outros, que temos a convicção de uma série de transformações que acontecem por bilhões de anos, até a estrutura que conhecemos hoje. Tal que o universo tende a se expandindo cada vez mais, dando origem aos diversos astros, como: Planetas, Cometas, Estrelas, Galáxias, Nebulosas, Satélites Naturais, Buracos Negros, dentre outros.

O resultado de uma pesquisa feita em 2017 pelos Físicos *Mark R. Morris*, *Jun-Hui Zhao* e *W. M. Goss* foi publicado no periódico científico “*The Astrophysical Journal Letters*” com o seguinte tema: **A Nonthermal Radio Filament Connected to the Galactic Black Hole?** (Um filamento de rádio não térmico conectado ao buraco negro galáctico?). Nessa pesquisa foi investigado o um filamento de rádio não térmico (em inglês, *nonthermal radio filament*) (NTF) que foi encontrado próximo ao Buraco Negro *Sagittarius A\** ou *Sgr A\**, tal que esse filamento ficou conhecido como *O Filamento SgrA Oeste* (em inglês, *The SgrA West Filament*)(SgrAWF), onde é composto de gás hidrogênio ionizado, e possui uma estrutura torcida em forma de espiral, como mostra a Fig1.1.

Assumindo que o SgrAWF tem uma relação Física com o *Sgr A\**, foram examinados

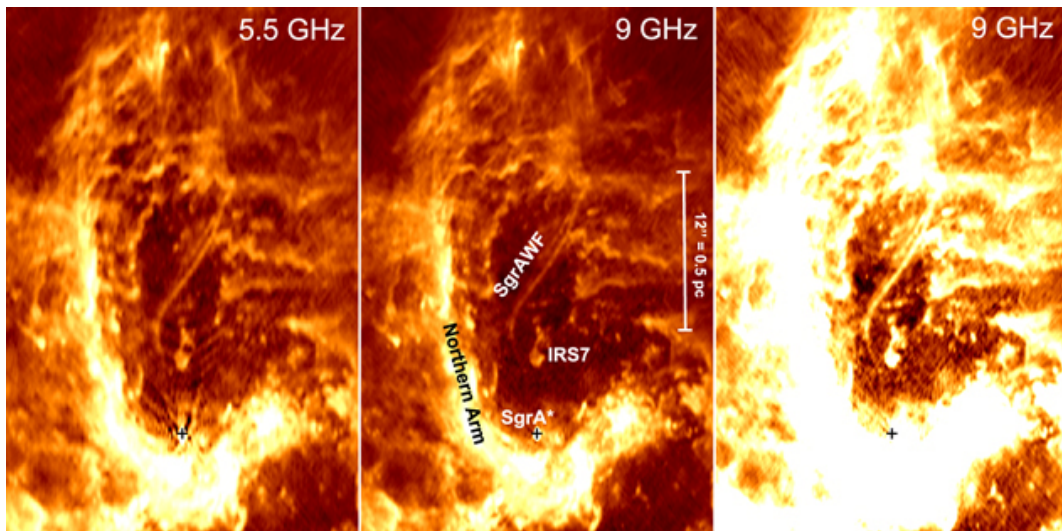


Figura 1.1: O Filamento SgrA Oeste. Fonte: (Morris e Zhao 2017)

implicações potenciais, onde foi considerado a possibilidade de que SgrAWF seja a manifestação de uma *Corda Cósmica* de baixa densidade de massa que ficou ancorada no Buraco Negro.

Cordas cósmicas são objetos teóricos postulados na Física, principalmente na cosmologia, que se formariam como defeitos topológicos<sup>1</sup> durante as transições de fase no universo primordial. Até o momento, não há evidências observacionais confirmadas da existência de cordas cósmicas. No entanto, a busca por sinais de suas influências, como através de lentes gravitacionais ou padrões específicos na radiação cósmica de fundo, continua sendo uma área ativa de pesquisa em Cosmologia e Astrofísica. Portanto, com base no artigo publicado na “*The Astrophysical Journal Letters*” decidimos estudar os efeitos de uma Corda Cósmica no Buraco Negro de Schwarzschild, onde analisamos como essa interação pode causar uma variedade de efeitos como: a perturbação da forma do horizonte de eventos do Buraco Negro, criando um comportamento incomum na forma como ele captura a matéria ao seu redor, e uma redistribuição da matéria e da energia, podendo gerar ondas gravitacionais detectáveis devido à sua interação com a gravidade extrema do Buraco Negro.

Estudar a interação entre Buracos Negros e Cordas cósmicas é importante tanto em contextos teóricos quanto práticos, no avanço do conhecimento sobre o universo. Os Buracos Negros são os melhores laboratórios naturais para testar a teoria da relatividade geral de Einstein, que descreve a gravidade como uma curvatura do espaço-tempo. Já as cordas cósmicas surgem em teorias que buscam unir a gravidade com as outras forças fundamentais. Estudar essa interação pode revelar novas formas de curvatura do espaço-tempo, e desafiar ou confirmar previsões da relatividade em regimes extremos.

Um outro fator importante é que as Cordas cósmicas estão associadas a ideias de quebra de simetria no universo primordial e aparecem em teorias como a *Teoria das cordas* e *Teorias de grande unificação*. Estudá-las em conjunto com Buracos Negros pode fornecer pistas sobre uma teoria mais abrangente que unifique a relatividade geral e a mecânica quântica, algo que ainda não foi alcançado. O entendimento dessa interação poderia aproximar os cientistas da chamada

<sup>1</sup> São irregularidades ou perturbações que ocorrem na ordem de um sistema físico e são caracterizados por sua resistência a serem eliminados por deformações contínuas.

*Gravidade quântica.*

Por fim, o estudo dessas interações nos permite explorar o desconhecido, expandindo as fronteiras da ciência. Buscar entender como a natureza se comporta em situações extremas, como a interação de Buracos Negros com Cordas cósmicas, desafia nosso entendimento atual e estimula o desenvolvimento de novas ideias.

## Capítulo 2

# Teoria da Relatividade Geral

No ano de 1905, Einstein havia proposto a Teoria da Relatividade Especial. Onde esta teoria apresentava que: a velocidade da luz no vácuo  $c$  é constante, independente da velocidade da fonte; a massa depende da velocidade; ocorre uma dilatação do tempo e uma contração do comprimento durante movimento em alta velocidade; massa e energia são equivalentes e nenhuma informação ou matéria pode se mover mais rápido do que a luz. Em 1907, apenas dois anos após a formulação da Relatividade Especial, Einstein teve a percepção que mais tarde escreveu como “ *O pensamento mais feliz da minha vida* ” . Esse pensamento foi a constatação de que, para um indivíduo que está caindo livremente, acelerando de um local alto, a sensação que esse indivíduo terá é como se a gravidade fosse “desligada” , logo, ele não sentiria o seu próprio peso.

Esta ideia, ligando gravitação e aceleração, permitiu a Einstein o início da extensão da Teoria da Relatividade para incluir a gravitação e mostrar que uma teoria do movimento relativo geral poderia ser uma teoria da gravitação. Foi justamente essa ideia que mais tarde Einstein chamou de *Princípio da Equivalência*.

O *Princípio da Equivalência* estabelece que é impossível distinguir entre um campo gravitacional e um movimento acelerado do observador, e uma das suas previsões é que a luz emitida de dentro de um campo gravitacional intenso deve sofrer uma mudança mensurável para energias espectrais mais baixas, o que para a luz significa uma mudança para o vermelho, o denominado *desvio para o vermelho* ou *Redshift*. Este princípio possui algumas formulações, mas as duas mais comuns são o *Princípio da Equivalência Fraca* e o *Princípio da Equivalência Forte*.

- **Princípio da Equivalência Fraca:** este princípio afirma que a trajetória de uma partícula em um campo gravitacional depende apenas de sua posição inicial e velocidade, e não de sua massa ou composição, ou seja, a aceleração de objetos em queda livre não depende de sua composição, por isso, algumas vezes é chamado de *Princípio da universalidade da queda livre*. Onde este princípio não se aplica a objetos muito massivos que alterariam o campo gravitacional ao seu redor. Por isso, se refere apenas a forças gravitacionais.
- **Princípio da Equivalência Forte:** este princípio afirma que as leis da Física em um referencial inercial são as mesmas em todos os lugares do espaço-tempo, independentemente da presença de um campo gravitacional.

Ambas as versões do *Princípio da Equivalência* foram sujeitas a muitos testes experimentais. Onde os primeiros testes foram realizados ao longo de muitos anos com alta precisão e com uma sensibilidade cada vez melhor pelo cientista húngaro *Loránd Eötvös* no final do século XIX. Tal que seus resultados foram citados por Einstein na primeira formulação completa da Relatividade Geral (Acevedo e Morais 2019).

Ainda no ano de 1907, o matemático alemão Hermann Minkowski (1864-1909) percebeu que a Teoria da Relatividade Especial poderia ser melhor compreendida e sugeriu uma abordagem em termos geométricos. Minkowski introduziu a ideia de um espaço em quatro dimensões, conhecido como *espaço-tempo de Minkowski*, onde tanto o espaço como o tempo não são entidades separadas. Ele propôs que os eventos podem ser representados como pontos em um espaço-tempo quadridimensional, onde três dimensões são espaciais e uma dimensão é temporal (Lambourne 2010).

Através dessas influências, Einstein obteve um pensamento cada vez mais geométrico, e em meados de 1912, percebeu que para desenvolver ainda mais na relatividade e na gravitação, precisava descobrir o que os matemáticos sabiam sobre certos problemas relativos aos invariantes na geometria. Foi então, através do matemático Marcel Grossman (1878–1936), Einstein descobriu o que procurava, um assunto conhecido como *Geometria Riemanniana*, um ramo da matemática particularmente voltada com o estudo de espaços curvos com uma *métrica Riemanniana* com um produto interno sobre o espaço tangente em cada ponto que varia continuamente de ponto a ponto.

## 2.1 Métricas e Geometria Riemanniana

O matemático alemão Bernhard Riemann (1826-1866) percebeu que os elementos de linha poderiam ser usados não apenas para resumir uma geometria, mas como ponto de partida para a consideração de uma geometria. Ele percebeu que, construindo elementos lineares de acordo com certos princípios gerais simples, seria possível desenvolver toda uma família de geometrias que pudessem descrever espaços planos e curvos com qualquer número desejado de dimensões. Esta é a base da geometria Riemanniana.

Um espaço de Riemann de  $n$ -dimensões é um espaço no qual o elemento de linha assume a forma geral (Manfio):

$$ds^2 = \sum_{i,j=1}^n g_{ij} dx^i dx^j \quad (2.1)$$

Onde  $dx^1, dx^2, \dots, dx^n$  são os diferenciais das coordenadas espaciais e temporais, e  $g_{ij}$  são as funções das coordenadas conhecidas como *Tensor Métrico* que devem ser simétricos no sentido de que  $g_{ij} = g_{ji}$ . Tal que onde  $i$  e  $j$  simplesmente indicam as posições dos índices e não têm outro significado. Já  $ds^2$  é o elemento de linha (intervalo) no espaço-tempo que faz a medida da separação infinitesimal entre dois eventos.

Na Física a *Métrica* define a estrutura geométrica de um espaço. No contexto da Relatividade Geral e da Teoria dos campos, a *Métrica* é utilizada para representar a curvatura e a geometria do espaço-tempo, possibilitando calcular volumes, distâncias e ângulos, onde é

fundamental para a definição das leis da Física em um contexto relativístico.

Após as coordenadas usadas serem especificadas para descrever um espaço, são os coeficientes métricos que realizam a função de relacionar os diferenciais de coordenadas aos comprimentos e, assim, determinar a geometria do espaço. Depois de conhecer a métrica, a geometria do espaço é totalmente determinada. No entanto, o inverso não é verdadeiro. A geometria não determina exclusivamente a métrica; isso ocorre simplesmente porque existem muitos sistemas de coordenadas possíveis, logo, muitas maneiras diferentes de escrever a métrica. Como por exemplo temos a Métrica de Minkowski que descreve um espaço-tempo plano na Relatividade Especial (Machado 2016):

$$ds^2 = c^2 dt^2 - dx^2 - dy^2 - dz^2 \quad (2.2)$$

E a Métrica de Schwarzschild que descreve o espaço-tempo ao redor de um objeto esférico e não rotativo, como um Buraco Negro Estático:

$$ds^2 = \left(1 - \frac{2GM}{c^2 r}\right) c^2 dt^2 - \left(1 - \frac{2GM}{c^2 r}\right)^{-1} dr^2 - r^2 d\theta^2 - r^2 \sin^2 \theta d\phi^2 \quad (2.3)$$

Uma operação que é importante sabermos é a operação de *levantar* e *abaixar* índices de um tensor, o que nos permite obter um novo tensor. Conseguimos fazer isso usando a *Métrica* e sua inversa, ou seja, dado um tensor  $T^{\alpha\beta}{}_{\gamma\delta}$  (Tutida 2021),

$$T^{\alpha\beta\mu}{}_{\delta} = g^{\mu\gamma} T^{\alpha\beta}{}_{\gamma\delta} \quad (2.4)$$

$$T_{\mu}{}^{\beta}{}_{\gamma\delta} = g_{\mu\alpha} T^{\alpha\beta}{}_{\gamma\delta} \quad (2.5)$$

$$T_{\mu\nu}{}^{\rho\sigma} = g_{\mu\alpha} g_{\nu\beta} g^{\rho\gamma} T^{\alpha\beta}{}_{\gamma\delta} \quad (2.6)$$

Os índices são notações usadas em tensores para indicar suas componentes em diferentes direções ou dimensões de um espaço. Eles são essenciais para trabalhar com vetores e tensores, especialmente em espaços multidimensionais, como no contexto da relatividade geral e geometria diferencial. Temos dois tipos de índice: *Covariante* e *Contravariante*.

- **Índices Covariantes (Inferiores):** Representados por índices subscritos, como  $T_{\mu}$ . Eles referem-se às componentes de um tensor em relação às formas lineares (co-vetores).
- **Índices Contravariantes (Superiores):** Representados por índices sobrescritos, como  $T^{\mu}$ . Eles referem-se às componentes de um tensor em relação aos vetores.

## 2.2 Transporte Paralelo e Coeficiente de Conexão

O *Transporte Paralelo* descreve como vetores são transportados ao longo de curvas em um espaço curvo de maneira que permanecem "paralelos" segundo a geometria do espaço-tempo

sem mudar a sua direção em relação à geometria local. Para entender a intuição Física por trás do transporte paralelo, consideremos um vetor no espaço plano tridimensional. Em um espaço plano, podemos mover um vetor de um ponto a outro sem mudar sua direção ou magnitude, pois não há curvatura (Gorodetskaya 2015). No entanto, em um espaço curvo, como a superfície de uma esfera da Fig. 2.1, mover um vetor de um ponto a outro pode resultar em uma mudança aparente de direção devido à curvatura do espaço.

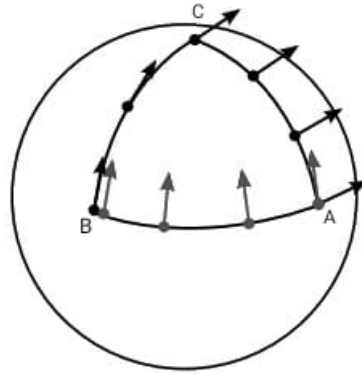


Figura 2.1: Transporte paralelo de um vetor ao longo do ABC. Fonte: (Crowell 2024)

O conceito de transporte paralelo é fundamental na teoria da relatividade geral e descreve como um vetor é movido ao longo de uma curva de maneira que ele permaneça "paralelo" a si mesmo em relação à conexão usada. Aqui, vamos explicar como ocorre o transporte paralelo na Fig. 2.1:

- **Ponto inicial:** Começando no ponto A na linha do Equador. O vetor aponta para o norte (tangente à superfície da esfera).
- **O movimento ao longo do Equador:** O vetor se movimenta ao longo do Equador até o ponto B, mantendo o vetor paralelo à superfície. No contexto da esfera, esse vetor não muda de direção em relação à superfície porque existe o movimento ao longo de uma linha de latitude constante.
- **Movimento ao Longo de um Meridiano:** Do ponto B, o vetor se move ao longo de um meridiano (linha de longitude) até o ponto C, mantendo o vetor paralelo à superfície. À medida que se move para o norte, o vetor vai "rodando" para manter paralelo em relação à superfície da esfera.
- **Movimento ao Longo de C até A:** Do ponto C, o vetor se move até o ponto A no Equador ao longo de um meridiano diferente, ou seja, um caminho diferente. Mantendo o vetor paralelo à superfície enquanto faz isso. Podemos notar que, embora o vetor comece apontando para o norte quando parte do ponto inicial, ao retornar ao ponto A no Equador, o vetor terá girado em relação à sua direção original.

Esse exemplo demonstra que, ao transportar um vetor paralelo da mesma maneira ao longo de uma curva fechada na superfície de uma esfera, o vetor pode não voltar à sua orientação

original. A diferença de orientação resulta da curvatura da superfície da esfera. Essa propriedade é uma manifestação da curvatura intrínseca da superfície. Tanto que, na Relatividade Geral o *Transporte Paralelo* é usado para descrever como vetores se comportam ao serem movidos através do espaço-tempo curvo.

Para entendermos a distribuição da velocidade de uma partícula viajando ao longo da curva  $C$  do ponto  $P$  até o ponto  $Q$  com velocidade  $\mathbf{V}_P$  e  $\mathbf{V}_Q$  nos respectivos pontos, temos que, ao longo da curva  $C$  os vetores  $\mathbf{V}_P$  permanecem paralelos ao longo do caminho sem mudar sua direção e magnitude em relação à geometria do espaço, como mostra a Fig. 2.2 .

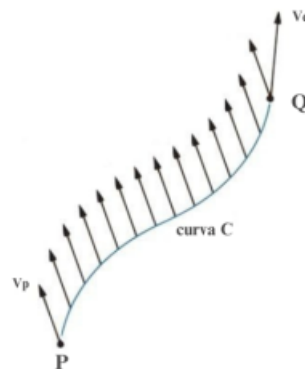


Figura 2.2: O transporte paralelo de um vetor ao longo de uma curva de  $P$  para  $Q$ . (Lambourne 2010).

E para isso, utilizamos as Coordenadas Esféricas  $(r, \theta, \phi)$  com seus vetores de base  $(\hat{r}, \hat{\theta}, \hat{\phi})$ , onde estes mudam sua direção de acordo com a posição da partícula. Uma consequência disso é que as componentes do vetor transportado paralelamente de  $P$  até  $Q$  serão diferentes do vetor original que partiu de  $P$ . Portanto, para transportar paralelamente um vetor nesta situação é preciso identificar exatamente como as componentes devem mudar durante cada deslocamento infinitesimal ao longo da curva  $C$ , como mostra a Fig. 2.3 .

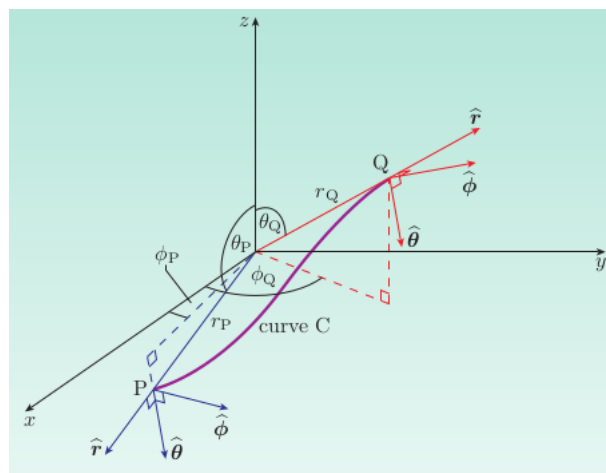


Figura 2.3: Vetores de base apontando em diferentes direções para cada ponto. Fonte: (Lambourne 2010).

Estendendo esse problema para um *Espaço de Riemann Tridimensional Curvo* com coordenadas  $x^1, x^2, x^3$  e Métrica  $g_{ij}$ , onde queremos fazer o *Transporte Paralelo* em um vetor

no ponto P ao longo da curva C até o ponto Q, de tal forma que as posições ao longo da curva são descritas por um parâmetro  $u$ , onde a curva é descrita por três funções de coordenadas  $x^1(u), x^2(u), x^3(u)$  com seus respectivos vetores de base  $e_1, e_2, e_3$ . Portanto, para qualquer ponto na curva C, que corresponda ao parâmetro  $u$ , podemos escrever o valor local de um campo vetorial arbitrário  $\mathbf{v}(u)$  em termos de suas componentes e vetores de bases coordenadas nesse ponto (Lambourne 2010). Assim temos:

$$\mathbf{v}(u) = v^j(u) e_j(u) \quad (2.7)$$

Fazendo a derivada pela regra do produto em relação a  $u$ ,

$$\frac{d}{du} \mathbf{v} = \frac{d}{du} v^j e_j + v^j \frac{d}{du} e_j \quad (2.8)$$

Aplicando a regra da cadeia em  $\frac{d}{du} e_j$ ,

$$\frac{d}{du} e_j = \frac{\partial}{\partial x^k} e_j \frac{d}{du} x^k$$

Onde o termo  $\frac{\partial}{\partial x^k} e_j$  representa a taxa de variação de  $e_j$  em relação a  $x^k$  e terá componentes na direção de cada um dos vetores de base, assim temos,

$$\frac{\partial}{\partial x^k} e_j = \Gamma^i_{jk} e_i \quad (2.9)$$

Substituindo a Eq2.9 na Eq2.8, obtemos

$$\frac{d}{du} \mathbf{v} = \frac{d}{du} v^j e_j + \Gamma^i_{jk} e_i v^j \frac{d}{du} x^k \quad (2.10)$$

O termo  $\Gamma^i_{jk}$  é chamado de *Símbolo de Christoffel*, que é uma ferramenta matemática usada na geometria diferencial e na Teoria da Relatividade Geral para descrever a conexão afim em uma variedade riemanniana. Esses símbolos são fundamentais para a definição de derivadas covariantes e para a descrição de como os vetores variam ao longo de curvas na variedade. De modo que em qualquer ponto,  $\Gamma^i_{jk}$  representa a componente na direção do vetor base  $e_i$  da taxa de variação  $e_j$  em relação a  $x^k$  (Afrancho 2022).

Na Eq. 2.10 todos os índices do lado direito são *Fictícios*, ou seja, qualquer um deles podem ser alterados de maneira que,  $e_j = e_i$  e  $v^j = v^i$ , então

$$\frac{d}{du} \mathbf{v} = \frac{d}{du} v^i e_i + \Gamma^i_{jk} e_i v^j \frac{d}{du} x^k$$

$$\frac{d}{du} \mathbf{v} = \left( \frac{d}{du} v^i + \Gamma^i_{jk} v^j \frac{d}{du} x^k \right) e_i$$

Se o campo vetorial representa o mesmo vetor transportado paralelamente em todos os pontos, então podemos dizer que a sua *Taxa de Variação é Zero*. Sendo assim, considerando que o vetor  $\mathbf{v}$  é transportado paralelamente ao longo da curva, temos  $\frac{d}{du} \mathbf{v} = 0$ . Portanto,

$$\left( \frac{d}{du} v^i + \Gamma^i_{jk} v^j \frac{d}{du} x^k \right) e_i = 0$$

$$\frac{d}{du} v^i + \Gamma^i_{jk} v^j \frac{d}{du} x^k = 0 \quad (2.11)$$

A Eq. 2.11 diz que a derivada covariante do vetor ao longo da curva é zero, o que implica que o vetor não muda sua orientação em relação ao espaço-tempo ao longo da curva.

Bem como na geometria diferencial, o *Transporte Paralelo* é usado para definir a *Derivada Covariante* e explorar propriedades de variedades curvas. Temos que a *Derivada Covariante* é uma ferramenta essencial na Relatividade Geral e na Geometria Diferencial, permitindo a diferenciação de vetores e tensores em variedades curvas. Ela generaliza a derivada convencional, levando em conta a curvatura do espaço-tempo e possibilitando a formulação precisa das leis físicas em contextos relativísticos.

### 2.2.1 Derivada Covariante

A *Derivada Covariante* é uma generalização da derivada usual que se aplica em variedades curvas, como o espaço-tempo na Relatividade Geral. Diferentemente da derivada padrão, que é adequada para espaços planos, a derivada covariante leva em conta a curvatura do espaço para fornecer uma maneira de diferenciar vetores e tensores ao longo de uma variedade. Temos que a *Derivada Covariante* parte de uma operação que envolve *produto interno* de um vetor  $A$ , como:

$$\nabla \cdot A$$

Considerando  $A$  como um *Vetor Contravariante*, e sabendo que o *produto interno* é *Base Covariante*  $\cdot$  *Base Contravariante*, ou seja,  $e^m \cdot e_i$ , temos:

$$\nabla \cdot A = \left( e^m \frac{\partial}{\partial x^m} \right) \cdot (A^i e_i)$$

$$\nabla \cdot A = e^m \frac{\partial}{\partial x^m} A^i \cdot e_i + A^i e^m \cdot \frac{\partial}{\partial x^m} e_i$$

$$\nabla \cdot A = e^m \cdot e_i \frac{\partial}{\partial x^m} A^i + A^i e^m \cdot \frac{\partial}{\partial x^m} e_i$$

Onde:  $\frac{\partial}{\partial x^m} e_i = \Gamma^k_{im} e_k$

$$\nabla \cdot A = e^m \cdot e_i \frac{\partial}{\partial x^m} A^i + A^i e^m \cdot \Gamma^k_{im} e_k$$

Podemos fazer uma manipulação dos índices em  $A^i e^m \cdot \Gamma^k_{im} e_k$ , onde  $k=i$  e  $i=k$ , então:

$$\nabla \cdot A = e^m \cdot e_i \frac{\partial}{\partial x^m} A^i + A^k e^m \cdot \Gamma^i_{km} e_i$$

$$\nabla \cdot A = e^m \cdot e_i \frac{\partial}{\partial x^m} A^i + e^m \cdot e_i A^k \Gamma_{km}^i$$

$$\nabla \cdot A = (e^m \cdot e_i) \left( \frac{\partial}{\partial x^m} A^i + A^k \Gamma_{km}^i \right)$$

$$\nabla \cdot A = \delta_j^i \left( \frac{\partial}{\partial x^m} A^i + A^k \Gamma_{km}^i \right)$$

$$\nabla_m A^i = \frac{\partial}{\partial x^m} A^i + A^k \Gamma_{km}^i$$

E assim temos a *Derivada Covariante*

$$\nabla_m A^i = \partial_m A^i + A^k \Gamma_{km}^i; i, k, m = 0, 1, 2, 3 \quad (2.12)$$

Em que  $\partial_m A^i$  é a derivada parcial do vetor  $A^i$  em relação à coordenada  $x^m$ , e  $\Gamma_{km}^i$  são os *Símbolos de Christoffel* que representam a conexão e incorporam informações sobre a curvatura da variedade. Tal que os *Símbolos de Christoffel* são determinados pela Métrica  $g_{\mu\nu}$  do espaço-tempo e podemos determiná-los através da *Derivada Covariante expandida de forma geral*, levando em conta um *Tensor Covariante* da seguinte maneira:

$$\nabla_\gamma \mathbf{T}_{\mu\nu} = \partial_\gamma \mathbf{T}_{\mu\nu} - \Gamma_{\gamma\mu}^\rho \mathbf{T}_{\rho\nu} - \Gamma_{\gamma\nu}^\rho \mathbf{T}_{\rho\mu} \quad (2.13)$$

Para escrevermos os *Símbolos de Christoffel* em termos da Métrica, temos que na Fig. ??, o comprimento e o ângulo dos vetores sejam iguais desde o ponto A até retonar ao ponto A, então temos que a *Derivada Covariante da Métrica* é:

$$\nabla_\gamma g_{\mu\nu} = 0 \quad (2.14)$$

Então, através da Eq.2.13 podemos substituir o Tensor pela Métrica, bem como vamos permutar os índices:  $\gamma, \mu, \nu$  de tal forma que:

$$\nabla_\gamma g_{\mu\nu} = \partial_\gamma g_{\mu\nu} - \Gamma_{\gamma\mu}^\rho g_{\rho\nu} - \Gamma_{\gamma\nu}^\rho g_{\rho\mu} = 0 \quad (2.15)$$

$$\nabla_\mu g_{\nu\gamma} = \partial_\mu g_{\nu\gamma} - \Gamma_{\mu\nu}^\rho g_{\rho\gamma} - \Gamma_{\mu\gamma}^\rho g_{\rho\nu} = 0 \quad (2.16)$$

$$\nabla_\nu g_{\gamma\mu} = \partial_\nu g_{\gamma\mu} - \Gamma_{\nu\gamma}^\rho g_{\rho\mu} - \Gamma_{\nu\mu}^\rho g_{\rho\gamma} = 0 \quad (2.17)$$

Assim, temos que:

$$\nabla_\gamma g_{\mu\nu} - \nabla_\mu g_{\nu\gamma} - \nabla_\nu g_{\gamma\mu} = 0$$

$$(\partial_\gamma g_{\mu\nu} - \Gamma_{\gamma\mu}^\rho g_{\rho\nu} - \Gamma_{\gamma\nu}^\rho g_{\rho\mu}) - (\partial_\mu g_{\nu\gamma} - \Gamma_{\mu\nu}^\rho g_{\rho\gamma} - \Gamma_{\mu\gamma}^\rho g_{\rho\nu}) - (\partial_\nu g_{\gamma\mu} - \Gamma_{\nu\gamma}^\rho g_{\rho\mu} - \Gamma_{\nu\mu}^\rho g_{\rho\gamma}) = 0$$

$$\partial_\gamma g_{\mu\nu} - \Gamma^\rho_{\gamma\mu} g_{\rho\nu} - \Gamma^\rho_{\gamma\nu} g_{\rho\mu} - \partial_\mu g_{\nu\gamma} + \Gamma^\rho_{\mu\nu} g_{\rho\gamma} + \Gamma^\rho_{\mu\gamma} g_{\rho\nu} - \partial_\nu g_{\gamma\mu} + \Gamma^\rho_{\nu\gamma} g_{\rho\mu} + \Gamma^\rho_{\nu\mu} g_{\rho\gamma} = 0$$

$$\partial_\gamma g_{\mu\nu} - \partial_\mu g_{\nu\gamma} - \partial_\nu g_{\gamma\mu} - \Gamma^\rho_{\gamma\mu} g_{\rho\nu} - \Gamma^\rho_{\gamma\nu} g_{\rho\mu} + \Gamma^\rho_{\mu\nu} g_{\rho\gamma} + \Gamma^\rho_{\mu\gamma} g_{\rho\nu} + \Gamma^\rho_{\nu\gamma} g_{\rho\mu} + \Gamma^\rho_{\nu\mu} g_{\rho\gamma} = 0$$

Os índices da parte inferior dos *Símbolos de Christoffel*, podem comutar, assim temos:

$$\partial_\gamma g_{\mu\nu} - \partial_\mu g_{\nu\gamma} - \partial_\nu g_{\gamma\mu} - \Gamma^\rho_{\gamma\mu} g_{\rho\nu} - \Gamma^\rho_{\gamma\nu} g_{\rho\mu} + \Gamma^\rho_{\mu\nu} g_{\rho\gamma} + \Gamma^\rho_{\mu\gamma} g_{\rho\nu} + \Gamma^\rho_{\nu\gamma} g_{\rho\mu} + \Gamma^\rho_{\nu\mu} g_{\rho\gamma} = 0$$

$$\partial_\gamma g_{\mu\nu} - \partial_\mu g_{\nu\gamma} - \partial_\nu g_{\gamma\mu} + 2\Gamma^\rho_{\mu\nu} g_{\rho\gamma} = 0$$

$$2\Gamma^\rho_{\mu\nu} g_{\rho\gamma} = \partial_\mu g_{\nu\gamma} + \partial_\nu g_{\gamma\mu} - \partial_\gamma g_{\mu\nu}$$

$$\Gamma^\rho_{\mu\nu} g_{\rho\gamma} = \frac{1}{2} (\partial_\mu g_{\nu\gamma} + \partial_\nu g_{\gamma\mu} - \partial_\gamma g_{\mu\nu})$$

Para que possamos eliminar a Métrica  $g_{\rho\gamma}$ , multiplicamos ambos os lados pela inversa dessa Métrica, ou seja:

$$\Gamma^\rho_{\mu\nu} g_{\rho\gamma} g^{\gamma\lambda} = \frac{1}{2} g^{\gamma\lambda} (\partial_\mu g_{\nu\gamma} + \partial_\nu g_{\gamma\mu} - \partial_\gamma g_{\mu\nu})$$

$$\text{onde: } \Gamma^\rho_{\mu\nu} g_{\rho\gamma} g^{\gamma\lambda} = \Gamma^\rho_{\mu\nu} \delta_\rho^\lambda = \Gamma^\lambda_{\mu\nu}$$

$$\Gamma^\lambda_{\mu\nu} = \frac{1}{2} g^{\gamma\lambda} (\partial_\mu g_{\nu\gamma} + \partial_\nu g_{\gamma\mu} - \partial_\gamma g_{\mu\nu})$$

Assim sendo, obtemos finalmente a expressão matemática para o *Símbolo de Christoffel* em termos da Métrica (Nascimento 2019),

$$\Gamma^\lambda_{\mu\nu} = \frac{1}{2} g^{\gamma\lambda} \left( \frac{\partial}{\partial x^\mu} g_{\nu\gamma} + \frac{\partial}{\partial x^\nu} g_{\gamma\mu} - \frac{\partial}{\partial x^\gamma} g_{\mu\nu} \right) \quad (2.18)$$

## 2.3 Geodésicas

Em um espaço plano euclidiano, o caminho mais curto entre dois pontos é o segmento de reta que os liga. Uma forma de definir uma linha reta no espaço euclidiano é como uma curva que segue sempre na mesma direção. Para estender esta definição aos espaços mais gerais da *Geometria Riemanniana*, precisamos analisar o conceito de “direção ao longo de uma curva” e o que significa “ir sempre na mesma direção”. Em qualquer ponto de uma *curva parametrizada* por  $u$  e definida pelas funções de coordenadas  $x^i(u)$  ( $i = 1, \dots, n$ ), podemos definir o vetor tangente  $\mathbf{t}$  como o vetor que aponta ao longo da curva, como mostrado na Fig. 2.4 (Lambourne 2010).

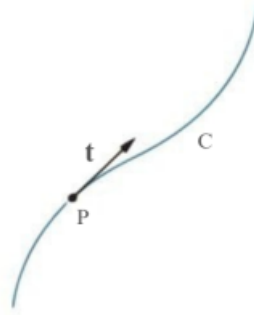


Figura 2.4: O vetor tangente  $\mathbf{t}$  à curva  $C$  no ponto  $P$ . Fonte: (Lambourne 2010)

Da mesma maneira, os círculos têm um papel semelhante na superfície curva de uma esfera, onde a distância entre dois pontos é chamada de *Geodésica*.

As *Geodésicas* são as curvas que generalizam a ideia de "linha reta" em espaços curvos, como variedades diferenciais. Na Física, elas representam o caminho mais curto entre dois pontos ou o caminho seguido por uma partícula em queda livre sob a influência da gravidade em um espaço-tempo curvo, onde a métrica é determinada pelas equações de campo de Einstein.

O nome *Geodésica* tem a sua origem na Grécia antiga onde já se sabia que a Terra ("*Geo*") não era plana. Como encontrar o caminho mais curto entre lugares da superfície terrestre era então uma questão importante. Daí em diante, as curvas de menor comprimento entre dois pontos numa determinada superfície ficaram conhecidas como geodésicas. A noção de geodésica foi formalizada com rigor a partir do século XVIII, com o surgimento do cálculo diferencial. No início do século XX, a *Teoria da Relatividade Geral*, na qual as geodésicas têm um papel de destaque, veio definitivamente reforçar a importância do estudo destas curvas (Fatelo e Estg 2014).

Temos que a Lagrangiana para a geodésica é,

$$L = g_{\mu\nu} \frac{d}{d\lambda} x^\alpha \frac{d}{d\lambda} x^\beta \quad (2.19)$$

Pela Eq. de Euler - Lagrange, temos,

$$\frac{d}{d\lambda} \left( \underbrace{\frac{\partial}{\partial \dot{x}^\mu} L}_I - \underbrace{\frac{\partial}{\partial x^\mu} L}_{II} \right) = 0 \quad (2.20)$$

Onde,  $\dot{x}^\mu = \frac{d}{d\lambda} x^\mu$

Na Eq2.20, temos que:

$$I = \frac{\partial}{\partial \dot{x}^\mu} L$$

$$I = \frac{\partial}{\partial \dot{x}^\mu} (g_{\mu\nu} \dot{x}^\alpha \dot{x}^\beta)$$

$$I = g_{\mu\nu} \frac{\partial}{\partial \dot{x}^\mu} (\dot{x}^\alpha \dot{x}^\beta)$$

Pela regra do produto,

$$I = g_{\mu\nu} \left( \frac{\partial}{\partial \dot{x}^\mu} \dot{x}^\alpha \dot{x}^\beta + \dot{x}^\alpha \frac{\partial}{\partial \dot{x}^\mu} \dot{x}^\beta \right)$$

onde,  $\frac{\partial}{\partial \dot{x}^\mu} \dot{x}^\alpha = \delta_\mu^\alpha$

$$I = g_{\mu\nu} \left( \delta_\mu^\alpha \dot{x}^\beta + \dot{x}^\alpha \delta_\mu^\beta \right)$$

$$I = g_{\mu\nu} \delta_\mu^\alpha \dot{x}^\beta + g_{\mu\nu} \dot{x}^\alpha \delta_\mu^\beta$$

Como  $g_{\mu\nu}$  é simétrico, então  $g_{\mu\nu} = g_{\nu\mu}$ .

$$I = g_{\mu\nu} \dot{x}^\beta + g_{\mu\nu} \dot{x}^\alpha$$

$$I = g_{\mu\nu} \dot{x}^\nu + g_{\mu\nu} \dot{x}^\nu$$

$$I = 2g_{\mu\nu} \dot{x}^\nu \tag{2.21}$$

Para II, temos,

$$II = \frac{\partial}{\partial x^\mu} L$$

$$II = \frac{\partial}{\partial x^\mu} (g_{\mu\nu} \dot{x}^\alpha \dot{x}^\beta)$$

$$II = \frac{\partial}{\partial x^\mu} g_{\mu\nu} (\dot{x}^\alpha \dot{x}^\beta) \tag{2.22}$$

Substituindo as Eq's 2.22 e 2.21 na Eq.2.20, temos

$$\underbrace{\frac{d}{d\lambda} (2g_{\mu\nu} \dot{x}^\nu)}_{III} - \frac{\partial}{\partial x^\mu} g_{\mu\nu} (\dot{x}^\alpha \dot{x}^\beta) = 0 \tag{2.23}$$

$$III = \frac{d}{d\lambda} (2g_{\mu\nu} \dot{x}^\nu)$$

$$III = 2 \left( \frac{d}{d\lambda} g_{\mu\nu} \dot{x}^\nu + g_{\mu\nu} \frac{d}{d\lambda} \dot{x}^\nu \right)$$

Aplicando a regra da cadeia em  $\frac{d}{d\lambda} g_{\mu\nu}$ , temos

$$\begin{aligned}
III &= 2 \left( \frac{\partial}{\partial x^\rho} g_{\mu\nu} \frac{d}{d\lambda} x^\rho + g_{\mu\nu} \frac{d}{d\lambda} \dot{x}^\nu \right) \\
III &= 2 \left( \frac{\partial}{\partial x^\rho} g_{\mu\nu} \dot{x}^\rho + g_{\mu\nu} \ddot{x}^\nu \right)
\end{aligned} \tag{2.24}$$

Substituindo a Eq.2.24 na Eq.2.23,

$$2 \left( \frac{\partial}{\partial x^\rho} g_{\mu\nu} \dot{x}^\rho + g_{\mu\nu} \ddot{x}^\nu \right) - \frac{\partial}{\partial x^\mu} g_{\mu\nu} (\dot{x}^\alpha \dot{x}^\beta) = 0$$

Multiplicando ambos os lados por  $\frac{1}{2}$ ,

$$\begin{aligned}
\left[ 2 \left( \frac{\partial}{\partial x^\rho} g_{\mu\nu} \dot{x}^\rho + g_{\mu\nu} \ddot{x}^\nu \right) - \frac{\partial}{\partial x^\mu} g_{\mu\nu} (\dot{x}^\alpha \dot{x}^\beta) \right] \frac{1}{2} &= 0 \frac{1}{2} \\
\frac{\partial}{\partial x^\rho} g_{\mu\nu} \dot{x}^\rho + g_{\mu\nu} \ddot{x}^\nu - \frac{1}{2} \frac{\partial}{\partial x^\mu} g_{\mu\nu} (\dot{x}^\alpha \dot{x}^\beta) &= 0
\end{aligned}$$

Multiplicando por  $g^{\mu\sigma}$ ,

$$\begin{aligned}
g^{\mu\sigma} \left[ \frac{\partial}{\partial x^\rho} g_{\mu\nu} \dot{x}^\rho + g_{\mu\nu} \ddot{x}^\nu - \frac{1}{2} \frac{\partial}{\partial x^\mu} g_{\mu\nu} (\dot{x}^\alpha \dot{x}^\beta) \right] &= 0 \\
\frac{\partial}{\partial x^\rho} g^{\mu\sigma} g_{\mu\nu} \dot{x}^\rho + g^{\mu\sigma} g_{\mu\nu} \ddot{x}^\nu - \frac{1}{2} g^{\mu\sigma} \frac{\partial}{\partial x^\mu} g_{\mu\nu} (\dot{x}^\alpha \dot{x}^\beta) &= 0
\end{aligned}$$

Tal que,  $g^{\mu\sigma} g_{\mu\nu} = \delta_\nu^\mu$

$$\begin{aligned}
\frac{\partial}{\partial x^\rho} g^{\mu\sigma} g_{\mu\nu} \dot{x}^\rho + \ddot{x}^\nu - \frac{1}{2} g^{\mu\sigma} \frac{\partial}{\partial x^\mu} g_{\mu\nu} (\dot{x}^\alpha \dot{x}^\beta) &= 0 \\
\dot{x}^\nu + \underbrace{\frac{\partial}{\partial x^\rho} g^{\mu\sigma} g_{\mu\nu} \dot{x}^\rho - \frac{1}{2} g^{\mu\sigma} \frac{\partial}{\partial x^\mu} g_{\mu\nu} (\dot{x}^\alpha \dot{x}^\beta)}_{IV} &= 0
\end{aligned} \tag{2.25}$$

Onde o termo  $IV$  é uma expressão que pode ser escrita em termos dos *Símbolos de Christoffel* dado pela Eq.2.18,

$$\Gamma^\lambda_{\mu\nu} = \frac{1}{2} g^{\gamma\lambda} \left( \frac{\partial}{\partial x^\mu} g_{\nu\gamma} + \frac{\partial}{\partial x^\nu} g_{\gamma\mu} - \frac{\partial}{\partial x^\gamma} g_{\mu\nu} \right)$$

Podemos modificar seus índices para,

$$\Gamma^\mu_{\alpha\beta} = \frac{1}{2} g^{\mu\nu} \left( \frac{\partial}{\partial x^\alpha} g_{\beta\nu} + \frac{\partial}{\partial x^\beta} g_{\alpha\nu} - \frac{\partial}{\partial x^\nu} g_{\alpha\beta} \right)$$

Multiplicando por  $\dot{x}^\alpha \dot{x}^\beta$ ,

$$\Gamma^\mu_{\alpha\beta} = \frac{1}{2} g^{\mu\nu} \left( \frac{\partial}{\partial x^\alpha} g_{\beta\nu} + \frac{\partial}{\partial x^\beta} g_{\alpha\nu} - \frac{\partial}{\partial x^\nu} g_{\alpha\beta} \right) \dot{x}^\alpha \dot{x}^\beta$$

Assim, na Eq.2.25, temos

$$\begin{aligned} \dot{x}^\nu + \frac{1}{2}g^{\mu\nu} \left( \frac{\partial}{\partial x^\alpha} g_{\beta\nu} + \frac{\partial}{\partial x^\beta} g_{\alpha\nu} - \frac{\partial}{\partial x^\nu} g_{\alpha\beta} \right) \dot{x}^\alpha \dot{x}^\beta &= 0 \\ \dot{x}^\nu + \Gamma_{\alpha\beta}^\mu \dot{x}^\alpha \dot{x}^\beta &= 0 \\ \frac{d^2}{d\lambda^2} x^\nu + \Gamma_{\alpha\beta}^\mu \frac{d}{d\lambda} x^\alpha \frac{d}{d\lambda} x^\beta &= 0 \end{aligned} \quad (2.26)$$

Onde a Eq.2.26 representa a *Equação da Geodésica* que descreve como um ponto se move no espaço-tempo curvo. Tal que:

- $x^\nu(\lambda)$  são as coordenadas da partícula como função do parâmetro  $\lambda$  (tipicamente o tempo próprio).
- $\Gamma_{\alpha\beta}^\mu$  são os símbolos de Christoffel, que possuem a informação sobre a curvatura do espaço-tempo.
- $\frac{d^2}{d\lambda^2}$  é a aceleração da partícula.
- $\frac{d}{d\lambda} x^\alpha$  e  $\frac{d}{d\lambda} x^\beta$  são as componentes da velocidade da partícula.

## 2.4 Tensor de Curvatura de Riemann

O *Tensor de Curvatura de Riemann* ou simplesmente *Tensor de Riemann*  $R^\alpha{}_{\beta\gamma\nu}$  é uma quantidade tensorial de quarta ordem que pode ser expresso em termos das derivadas segundas da métrica do espaço-tempo. Possui um papel fundamental na Teoria da Relatividade Geral de Einstein, pois é através desse tensor que podemos estudar as interações entre massa e energia no espaço-tempo, sendo essencial para calcular as equações de movimento e prever fenômenos gravitacionais como buracos negros, ondas gravitacionais e a curvatura do espaço-tempo em torno de objetos massivos.

O *Tensor de Riemann* é geralmente representado como um *Tensor Misto*  $R^\alpha{}_{\beta\gamma\nu}$ , contendo uma *contravariante* de ordem 1 e uma *covariante* de ordem 3. Mas também pode ser representado por um *Tensor Covariante*  $R_{\alpha\beta\gamma\nu}$ , contendo uma covariante de ordem 4. Tal que o *Tensor de Riemann Misto*  $R^\alpha{}_{\beta\gamma\nu}$  é definido da seguinte maneira,

$$R^\alpha{}_{\beta\gamma\nu} = \frac{\partial}{\partial x^\gamma} \Gamma_{\beta\nu}^\alpha - \frac{\partial}{\partial x^\nu} \Gamma_{\beta\gamma}^\alpha + \Gamma_{\beta\nu}^\rho \Gamma_{\rho\gamma}^\alpha - \Gamma_{\beta\gamma}^\rho \Gamma_{\rho\nu}^\alpha \quad (2.27)$$

Com relação a sua simetria, o *Tensor de Riemann* possui as seguintes propriedades:

- O *Tensor de Riemann* na sua forma *Mista* é antissimétrico nos dois últimos índices, ou seja,

$$R^\alpha{}_{\beta\gamma\nu} = -R^\alpha{}_{\beta\nu\gamma}$$

- O *Tensor de Riemann* na sua forma *Covariante* é antissimétrico nos dois primeiros índices e nos dois últimos índices, ou seja,

$$R_{\alpha\beta\gamma\nu} = -R_{\beta\alpha\gamma\nu}$$

$$R_{\alpha\beta\gamma\nu} = -R_{\alpha\beta\nu\gamma}$$

- Ainda na forma *Covariante*, o *Tensor de Riemann* é simétrico em relação à troca do primeiro par de índices com o segundo par, ou seja,

$$R_{\alpha\beta\gamma\nu} = R_{\gamma\nu\alpha\beta}$$

## 2.5 Tensor Energia - Momento

Na Teoria da Gravidade de Newton, a densidade de massa é conservada, cuja a mesma é a fonte da gravitação. Na Relatividade Geral, a massa de uma partícula não é conservada, mas está relacionada a magnitude da *Energia* e do *Momento*. Assim, como essas novas fontes da gravitação devem aparecer em um *Tensor*, então temos que um dos elementos básicos da Relatividade Geral é o *Tensor Energia-Momento*.

O *Tensor Energia-Momento* descreve a densidade e o fluxo de energia e momento em uma região do espaço-tempo. Onde O *Tensor Energia-Momento* é geralmente denotado por  $T_{\mu\nu}$ , onde  $(\mu, \nu = 0, 1, 2, 3)$  variam em um espaço-tempo quadridimensional, com três dimensões espaciais e uma temporal. A notação covariante  $T_{\mu\nu}$  indica que este é um tensor de ordem 2. Bem como, também pode ser representado por sua forma contravariante  $T^{\mu\nu}$ . Onde a sua forma *Contravariante*  $T^{\mu\nu}$  é usada para componentes que se transformam de maneira oposta, como vetores tangentes. Já na forma *Covariante*  $T_{\mu\nu}$  é comum quando se trabalha com componentes que se transformam de acordo com a derivada parcial em um sistema de coordenadas (Soares 2013).

Temos que o *Tensor Energia-Momento*  $T^{\mu\nu}$  é simétrico, ou seja,  $T_{\mu\nu} = T_{\nu\mu}$ , possuindo 16 componentes, onde 4 componentes são do tipo  $T_{\mu\mu}$  e as 12 componentes restante são do tipo  $T_{\mu\nu}$ , tal que  $\mu \neq \nu$ . E cada componente é uma função das coordenadas do espaço-tempo podendo ser interpretadas da seguinte forma:

- $T_{00}$  É a Densidade de Energia.
- $T_{0i} = T_{i0}$  ( $i = 1, 2, 3$ ) É a Densidade do Fluxo de Energia ou Fluxo de Momento na direção  $i$ .
- $T_{ij} = T_{ji}$  ( $i, j = 1, 2, 3$ ) É a Taxa do Fluxo da Componente  $i$  e do Momento perpendicular à direção  $j$ .

Assim, temos:

$$[T_{\mu\nu}] = \begin{pmatrix} T_{00} & T_{01} & T_{02} & T_{03} \\ T_{10} & T_{11} & T_{12} & T_{13} \\ T_{20} & T_{21} & T_{22} & T_{23} \\ T_{30} & T_{31} & T_{32} & T_{33} \end{pmatrix} \quad (2.28)$$

### 2.5.1 Tensor Energia - Momento para Campos Eletromagnéticos

Para uma região do espaço que contém *Campos Elétricos e Magnéticos* com ausência de matéria e somente radiação eletromagnética, temos que as componentes do *Tensor Energia - Momento para Campos Eletromagnéticos* é,

$$T_{\mu\nu} = F_{\mu\alpha}F_{\nu\alpha} - \frac{1}{4}g_{\mu\nu}F_{\alpha\beta}F_{\alpha\beta} \quad (2.29)$$

Onde  $F_{\mu\nu}$  é o Tensor do Campo Eletromagnético, que é um tensor antissimétrico de segunda ordem. Já  $g_{\mu\nu}$  é o Tensor Métrico do espaço-tempo, que na Relatividade Especial é substituído pelo Tensor de Minkowski  $\eta_{\mu\nu}$ . Onde esse tensor indica que na Relatividade Geral, a radiação eletromagnética por si só pode ser uma fonte da gravitação, mesmo que as partículas associadas (fótons) não possuem massa (Lambourne 2010).

Em coordenadas arbitrárias e num espaço-tempo que pode ser *Plano* ou *Curvo*, o *Tensor Energia-Momento* possui a seguinte propriedade,

$$\nabla_{\mu}T^{\mu\nu} = 0 \quad (2.30)$$

Na ausência de gravidade, num espaço-tempo de Minkowski plano, estes resultados nos permite simplesmente descrever a conservação da energia e do momento usando coordenadas gerais. Contudo, se o espaço-tempo for curvo, verifica-se que a Eq.2.30 geralmente não descreve a conservação da energia e do momento linear para o espaço-tempo. E isso é bom, porque na presença de gravitação (ou seja, curvatura), não se espera que a conservação da energia se aplique apenas à matéria e à radiação (Lambourne 2010).

## 2.6 Tensor de Einstein

O *Princípio da equivalência* levou Einstein a propor que a gravidade deveria ser considerada como uma manifestação da curvatura do espaço-tempo e não como uma força. Através disso, Einstein procurou uma teoria geométrica da gravidade, onde precisava encontrar um objeto geométrico que pudesse ser relacionado ao *Tensor Energia-Momento*. Com isso, ele precisava de um tensor de ordem 2 envolvendo as componentes do *Tensor métrico*.

Mesmo com várias ideias, Einstein demorou para encontrar a quantidade apropriada do tensor. Quando ele encontrou, percebeu que seus cálculos envolviam contrações do *Tensor de Curvatura de Riemann* Eq.2.27. E próprio *Tensor de Curvatura de Riemann* envolve os

*Coefficientes de Conexão* que são os *Símbolos de Christoffel* Eq.2.18.

Sabemos que o *Tensor de Curvatura de Riemann* é fundamental para o estudo de espaços curvos. Porém, existem outros dois tensores que se mostram muito úteis para esse tipo de espaço. Contraindo o *Tensor de Curvatura de Riemann*, vamos obter um novo tensor de ordem 2 da seguinte maneira,

$$R_{\alpha\beta} = R^{\gamma}_{\alpha\beta\gamma} \quad (2.31)$$

A Eq.2.31 é conhecida como *Tensor de Ricci*. Onde representa a contração do *Tensor de Curvatura de Riemann* e fornece informações sobre como o volume varia em um espaço curvado, ou seja, descreve como a matéria e a energia determinam a curvatura do espaço-tempo. Temos ainda que ele é simétrico no que diz respeito à troca de índices, ou seja,  $R_{\alpha\beta} = R_{\beta\alpha}$ . E se contraírmos o *Tensor de Ricci*, vamos obter o *Escalar de Curvatura* Eq.2.32, onde este define a curvatura de um espaço em um único ponto.

$$R = g^{\alpha\beta} R_{\alpha\beta} \quad (2.32)$$

### 2.6.1 Identidades de Bianchi

As *Identidades de Bianchi* se aplicam aos tensores de curvatura de Riemann, Ricci e ao escalar de curvatura. Na qual existem duas formas principais dessas identidades: as identidades de Bianchi diferenciais (primeiras identidades de Bianchi) e as identidades de Bianchi algébricas (segundas identidades de Bianchi).

Temos que as primeiras identidades de Bianchi referem-se ao *Tensor de Curvatura de Riemann*  $R^{\alpha}_{\beta\gamma\nu}$ , E são expressas como:

$$R^{\alpha}_{\beta\gamma\nu} + R^{\alpha}_{\nu\beta\gamma} + R^{\alpha}_{\gamma\nu\beta} = 0 \quad (2.33)$$

O *Tensor de Curvatura de Riemann* na sua forma geral é dado pela Eq, 2.27,

$$R^{\alpha}_{\beta\gamma\nu} = \frac{\partial}{\partial x^{\gamma}} \Gamma^{\alpha}_{\beta\nu} - \frac{\partial}{\partial x^{\nu}} \Gamma^{\alpha}_{\beta\gamma} + \Gamma^{\rho}_{\beta\nu} \Gamma^{\alpha}_{\rho\gamma} - \Gamma^{\rho}_{\beta\gamma} \Gamma^{\alpha}_{\rho\nu}$$

Onde os *Símbolos de Christoffel* é dado pela Eq.2.18,

$$\Gamma^{\lambda}_{\mu\nu} = \frac{1}{2} g^{\gamma\lambda} \left( \frac{\partial}{\partial x^{\mu}} g_{\nu\gamma} + \frac{\partial}{\partial x^{\nu}} g_{\gamma\mu} - \frac{\partial}{\partial x^{\gamma}} g_{\mu\nu} \right)$$

Analisando localmente, a métrica será representada por  $\eta$ , que é a *métrica de minkowski*. Portanto, sua derivada em um espaço plano é zero, ou seja,  $\frac{\partial}{\partial x} \eta = 0$ . No espaço plano, a métrica não varia de um ponto a outro. Assim, o produto dos *Símbolos de Christoffel* no *Tensor de Curvatura de Riemann* é zero. Porém, a derivada dos *Símbolos de Christoffel* é diferente de zero. Logo, na Eq.2.27, temos,

$$R^{\alpha}_{\beta\gamma\nu} = \frac{\partial}{\partial x^{\gamma}} \Gamma^{\alpha}_{\beta\nu} - \frac{\partial}{\partial x^{\nu}} \Gamma^{\alpha}_{\beta\gamma} \quad (2.34)$$

Onde a Eq.2.34 é o *Tensor de Curvatura de Riemann Localmente*. E tomando a *Derivada Covariante* desse tensor,

$$\nabla_{\rho} R^{\alpha}{}_{\beta\gamma\nu} = \frac{\partial}{\partial x^{\rho}} \frac{\partial}{\partial x^{\gamma}} \Gamma^{\alpha}{}_{\beta\nu} - \frac{\partial}{\partial x^{\rho}} \frac{\partial}{\partial x^{\nu}} \Gamma^{\alpha}{}_{\beta\gamma}$$

Podemos permutar dos índices  $\rho, \gamma, \nu$  do termo  $\nabla_{\rho} R^{\alpha}{}_{\beta\gamma\nu}$ , assim temos,

- Para  $(\rho, \gamma, \nu)$ :

$$\nabla_{\rho} R^{\alpha}{}_{\beta\gamma\nu} = \frac{\partial}{\partial x^{\rho}} \frac{\partial}{\partial x^{\gamma}} \Gamma^{\alpha}{}_{\beta\nu} - \frac{\partial}{\partial x^{\rho}} \frac{\partial}{\partial x^{\nu}} \Gamma^{\alpha}{}_{\beta\gamma}$$

- Para  $(\gamma, \nu, \rho)$ :

$$\nabla_{\gamma} R^{\alpha}{}_{\beta\nu\rho} = \frac{\partial}{\partial x^{\gamma}} \frac{\partial}{\partial x^{\nu}} \Gamma^{\alpha}{}_{\beta\rho} - \frac{\partial}{\partial x^{\gamma}} \frac{\partial}{\partial x^{\rho}} \Gamma^{\alpha}{}_{\beta\nu}$$

- Para  $(\nu, \rho, \gamma)$ :

$$\nabla_{\nu} R^{\alpha}{}_{\beta\rho\gamma} = \frac{\partial}{\partial x^{\nu}} \frac{\partial}{\partial x^{\rho}} \Gamma^{\alpha}{}_{\beta\gamma} - \frac{\partial}{\partial x^{\nu}} \frac{\partial}{\partial x^{\gamma}} \Gamma^{\alpha}{}_{\beta\rho}$$

Somando as três equações, temos:

$$\begin{aligned} \nabla_{\rho} R^{\alpha}{}_{\beta\gamma\nu} + \nabla_{\gamma} R^{\alpha}{}_{\beta\nu\rho} + \nabla_{\nu} R^{\alpha}{}_{\beta\rho\gamma} &= \frac{\partial}{\partial x^{\rho}} \frac{\partial}{\partial x^{\gamma}} \Gamma^{\alpha}{}_{\beta\nu} - \frac{\partial}{\partial x^{\rho}} \frac{\partial}{\partial x^{\nu}} \Gamma^{\alpha}{}_{\beta\gamma} + \frac{\partial}{\partial x^{\gamma}} \frac{\partial}{\partial x^{\nu}} \Gamma^{\alpha}{}_{\beta\rho} - \frac{\partial}{\partial x^{\gamma}} \frac{\partial}{\partial x^{\rho}} \Gamma^{\alpha}{}_{\beta\nu} \\ &\quad + \frac{\partial}{\partial x^{\nu}} \frac{\partial}{\partial x^{\rho}} \Gamma^{\alpha}{}_{\beta\gamma} - \frac{\partial}{\partial x^{\nu}} \frac{\partial}{\partial x^{\gamma}} \Gamma^{\alpha}{}_{\beta\rho} \end{aligned}$$

$$\nabla_{\rho} R^{\alpha}{}_{\beta\gamma\nu} + \nabla_{\gamma} R^{\alpha}{}_{\beta\nu\rho} + \nabla_{\nu} R^{\alpha}{}_{\beta\rho\gamma} = 0 \quad (2.35)$$

A Eq.2.35 mostra que as derivadas covariantes do *Tensor de Curvatura de Riemann* é zero.

Multiplicando ambos os lados da Eq.2.35 pela métrica  $g^{\alpha\rho}$ , temos:

$$\begin{aligned} (\nabla_{\rho} R^{\alpha}{}_{\beta\gamma\nu} + \nabla_{\gamma} R^{\alpha}{}_{\beta\nu\rho} + \nabla_{\nu} R^{\alpha}{}_{\beta\rho\gamma}) g^{\alpha\rho} &= 0 \\ \underbrace{g^{\alpha\rho} \nabla_{\rho} R^{\alpha}{}_{\beta\gamma\nu}}_a + \underbrace{g^{\alpha\rho} \nabla_{\gamma} R^{\alpha}{}_{\beta\nu\rho}}_b + \underbrace{g^{\alpha\rho} \nabla_{\nu} R^{\alpha}{}_{\beta\rho\gamma}}_c &= 0 \end{aligned} \quad (2.36)$$

Então:

$$a = g^{\alpha\rho} \nabla_{\rho} R^{\alpha}{}_{\beta\gamma\nu}$$

Os índices  $\gamma$  e  $\nu$  são antissimétricos, logo,

$$a = -g^{\alpha\rho}\nabla_\rho R^\alpha_{\beta\nu\gamma}$$

$$a = -\nabla^\alpha R^\alpha_{\beta\nu\gamma} \quad (2.37)$$

$$b = g^{\alpha\rho}\nabla_\gamma R^\alpha_{\beta\nu\rho}$$

Os índices  $\nu$  e  $\rho$  são antissimétricos, logo,

$$b = -g^{\alpha\rho}\nabla_\gamma R^\alpha_{\beta\rho\nu}$$

$$b = -\nabla_\gamma R_{\beta\nu} \quad (2.38)$$

$$c = g^{\alpha\rho}\nabla_\nu R^\alpha_{\beta\rho\gamma}$$

$$c = \nabla_\nu R_{\beta\gamma} \quad (2.39)$$

Substituindo as Eq's.2.39, 2.38 e 2.37 na Eq.2.36, temos:

$$-\nabla^\alpha R^\alpha_{\beta\nu\gamma} - \nabla_\gamma R_{\beta\nu} + \nabla_\nu R_{\beta\gamma} = 0 \quad (2.40)$$

Multiplicando pela métrica  $g^{\beta\gamma}$ ,

$$(-\nabla^\alpha R^\alpha_{\beta\nu\gamma} - \nabla_\gamma R_{\beta\nu} + \nabla_\nu R_{\beta\gamma}) g^{\beta\gamma} = 0$$

$$-g^{\beta\gamma}\nabla^\alpha R^\alpha_{\beta\nu\gamma} - g^{\beta\gamma}\nabla_\gamma R_{\beta\nu} + g^{\beta\gamma}\nabla_\nu R_{\beta\gamma} = 0$$

$$-g^{\beta\gamma}\nabla^\alpha R^\alpha_{\beta\nu\gamma} - \nabla^\beta R_{\beta\nu} + \nabla_\nu R = 0$$

$$-\nabla^\alpha R_{\alpha\nu} - \nabla^\beta R_{\beta\nu} + \nabla_\nu R = 0$$

Tal que,  $\alpha = \beta = \mu$ , logo,

$$-\nabla^\mu R_{\mu\nu} - \nabla^\mu R_{\mu\nu} + \nabla_\nu R = 0$$

$$\nabla_\nu R - 2\nabla^\mu R_{\mu\nu} = 0$$

Onde,  $\nabla_\nu = g_{\mu\nu}\nabla^\mu$

$$g_{\mu\nu}\nabla^\mu R - 2\nabla^\mu R_{\mu\nu} = 0$$

Multiplicando por  $\left(-\frac{1}{2}\right)$ , temos

$$-\frac{1}{2}g_{\mu\nu}\nabla^\mu R - \left(-\frac{1}{2}\right)2\nabla^\mu R_{\mu\nu} = 0$$

$$\nabla^\mu R_{\mu\nu} - \frac{1}{2}g_{\mu\nu}\nabla^\mu R = 0$$

$$\nabla^\mu \left( R_{\mu\nu} - \frac{1}{2}g_{\mu\nu}R \right) = 0$$

$$\nabla^\mu G_{\mu\nu} = 0 \tag{2.41}$$

A Eq.2.41 é a Identidade de Bianchi na sua forma contraída em termos do Tensor de Ricci  $R_{\mu\nu}$ , do Escalar de Curvatura  $R$  e da Métrica  $g_{\mu\nu}$ . E através desta equação, temos o *Tensor de Einstein*,

$$G_{\mu\nu} = R_{\mu\nu} - \frac{1}{2}g_{\mu\nu}R \tag{2.42}$$

Na *Teoria da Relatividade Geral*, as Identidades de Bianchi asseguram a consistência das equações de campo de Einstein. Essas equações descrevem como a matéria e a energia influenciam a curvatura do espaço-tempo. As identidades de Bianchi implicam que a divergência do Tensor de Einstein é zero, o que é uma condição necessária para a conservação da energia e do momento em um sistema físico.

## 2.7 Equação de Campo de Einstein

As principais ideias centrais da *Teoria da Relatividade Geral* foram resumidas pelo Físico americano John Wheeler que dizia:

“A matéria diz ao espaço-tempo como se curvar, e o espaço-tempo curvado diz à matéria como se mover.” (Wheeler, J).

Para compreender melhor a citação de Wheeler, podemos dizer que o ponto central das ideias físicas da Relatividade Geral são que a Energia e o Momento em uma região do espaço-tempo determinam a geometria do espaço-tempo naquela região. A geometria do espaço-tempo determina então uma classe especial de caminhos do espaço-tempo, que são as *Geodésicas*. Movendo-se apenas sob a influência da gravidade, as partículas massivas viajam ao longo de Geodésicas semelhantes ao tempo (onde  $ds^2 > 0$ ), enquanto os raios de luz seguem Geodésicas nulas (com  $ds^2 = 0$ ). Assim, a distribuição de Energia e Momento numa região determina o movimento da matéria e da radiação em queda livre naquela região (Lambourne 2010).

O objetivo de Einstein foi determinar uma equação de uma teoria geométrica da gravidade que pudesse atuar da mesma maneira sobre todos os tipos de matéria. Com isso, ele identificou que o *Tensor Energia-Momento*  $[T_{\mu\nu}]$  poderia descrever as fontes da gravitação. E ainda encontrou um outro tensor simétrico, de ordem 2, que é o *Tensor de Einstein*  $[G_{\mu\nu}]$ .

Tanto  $[T_{\mu\nu}]$  como  $[G_{\mu\nu}]$  possuem divergência igual a zero, como mostram as Eq's.2.30 e 2.41, respectivamente. Temos que o tensor  $[T_{\mu\nu}]$  diz respeito à distribuição da matéria e da energia no espaço-tempo, já o tensor  $[G_{\mu\nu}]$  fala da curvatura e das distâncias, ou seja, diz respeito à geometria do espaço-tempo. Logo, ambos os tensores são proporcionais, o que levou Einstein a propor a sua equação de campo em termos de componentes de tensores por meio da relação (Sousa 2008),

$$G_{\mu\nu} = KT_{\mu\nu} \quad (2.43)$$

Onde  $K$  é uma constante de proporcionalidade que é igual a  $\frac{8\pi G}{c^4}$ , em que  $G$  é a constante gravitacional,  $G = 6,674310^{-11}m^3kg^{-1}s^{-2}$  e  $c$  é a velocidade da luz no vácuo,  $c = 299.792.458m/s$ . Assim, temos que a *Equação de Campo de Einstein* é,

$$R_{\mu\nu} - \frac{1}{2}g_{\mu\nu}R = \frac{8\pi G}{c^4}T_{\mu\nu} \quad (2.44)$$

A Eq.2.44 é uma equação tensorial que se aplica em quatro dimensões, ou seja, uma coordenada temporal e três coordenadas espaciais ( largura, profundidade e altura), considerando as coordenadas do espaço-tempo  $x^0, x^1, x^2, x^3$  ou  $t, x, y, z$ . A variação dos índices dos tensores envolvidos é essencial para a compreensão das interações entre matéria, energia e a geometria do espaço-tempo. Tal que os índices  $\mu$  e  $\nu$  variam entre 0 e 3. Com isso, a Eq.2.44 pode ser expressa na sua forma matricial da seguinte maneira,

$$\begin{pmatrix} R_{00} & R_{01} & R_{02} & R_{03} \\ R_{10} & R_{11} & R_{12} & R_{13} \\ R_{20} & R_{21} & R_{22} & R_{23} \\ R_{30} & R_{31} & R_{32} & R_{33} \end{pmatrix} - \frac{1}{2} \begin{pmatrix} g_{00} & g_{01} & g_{02} & g_{03} \\ g_{10} & g_{11} & g_{12} & g_{13} \\ g_{20} & g_{21} & g_{22} & g_{23} \\ g_{30} & g_{31} & g_{32} & g_{33} \end{pmatrix} R = \frac{8\pi G}{c^4} \begin{pmatrix} T_{00} & T_{01} & T_{02} & T_{03} \\ T_{10} & T_{11} & T_{12} & T_{13} \\ T_{20} & T_{21} & T_{22} & T_{23} \\ T_{30} & T_{31} & T_{32} & T_{33} \end{pmatrix} \quad (2.45)$$

Na Eq.2.44 o lado esquerdo se refere a geometria da curvatura do espaço-tempo, ou seja, os termos  $R_{\mu\nu}$  e  $R$ . Onde o conceito de curvatura está ligado a noção de *Transporte Paralelo*, tal que este é definido em termos da *Conexão*. Já a *Conexão* na Relatividade Geral é a *Conexão de Levi-Civita* que é definida pelos *Símbolos de Christoffel*. Portanto, a Curvatura depende dos Símbolos de Christoffel. Já o lado direito da Eq.2.44 se refere ao conteúdo de matéria e energia.

## Capítulo 3

# Buraco Negro de Schwarzschild e a Corda Cósmica

### 3.1 Buraco Negro

Um *Buraco Negro* é uma região do espaço-tempo caracterizada por um campo gravitacional extremamente forte que deforma o espaço ao seu redor, de tal forma que nada, nem mesmo a luz, pode escapar de sua atração. A ideia dos Buracos Negros surge da Teoria da Relatividade Geral de Einstein, que descreve como a gravidade é a curvatura do espaço-tempo causada pela massa. Em virtude dessa deformação algumas coisas "estranhas" acontecem ao seu redor, de tal maneira que chegamos a duvidar se de fato essas coisas acontecem. Porém, devido a observações e sua matemática sólida, temos total convicção do que ocorre ao redor de um Buraco Negro.

O conceito moderno de Buraco Negro tem suas origens no século XVIII com o reverendo inglês *John Michell* (1724–1793) que propôs a existência de estrelas invisíveis para o observador (*estrelas negras*) porque a luz não poderia escapar da atração gravitacional gerada por elas. A sugestão de Michell está em um trabalho apresentado perante a *Royal Society* de Londres por *Henry Cavendish* (1731–1810) em três sessões distintas: 11 e 18 de dezembro de 1783 e 15 de janeiro de 1784, e publicado em 1784 nas atas da *Royal Society*. Em 1796, doze anos após o trabalho de Michell ter sido apresentado por Cavendish perante a *Royal Society* e publicado nas suas atas, *Pierre Simon Laplace* (1749–1827) escreve sem demonstrar (Machado e Tort 2016):

*"A atração gravitacional de uma estrela com um diâmetro de 250 vezes o diâmetro do Sol e comparável em densidade com a densidade da Terra seria tão grande que a luz não poderia escapar da sua superfície. Os maiores corpos do Universo poderiam ser invisíveis por causa da sua magnitude (da velocidade de escape)."*

Por3m, o termo Buraco Negro s3o foi introduzido no ano de 1967 pelo F3sico norte-americano *John Archibald Wheeler* (1911-2008) para denotar o est3gio final de colapso de estrelas com massa superior a  $3 M_{\odot}$ <sup>1</sup>.

### 3.1.1 Forma33o de um Buraco Negro

Os Buracos Negros s3o criados a partir do est3gio final dos ciclos de vida de estrelas super massivas (aquelas com massas superiores a aproximadamente  $8 M_{\odot}$ ), onde chamamos esse processo de *Colapso Gravitacional*. 3 tamb3m atrav3s do Colapso Gravitacional que podem ser formadas as *Estrelas de N3utrons* e *An3s Brancas*.

Estrelas massivas se formam a partir de nuvens de g3s e poeira no espa3o interestelar, onde a gravidade faz com que essas nuvens colapsem, aumentando a press3o e a temperatura no n3cleo da estrela at3 que comecem as rea33es de *Fus3o nuclear*<sup>2</sup>. Tal que, nas profundezas da estrela os 3tomos de Hidrog3nio (H) s3o esmagados contra outros 3tomos de H que se combinam para formar um outro elemento mais denso, o H3lio (He). Com isso, h3 uma libera33o de energia do centro da estrela na forma de calor e luz anulando a for3a da gravidade, mantendo a estrela est3vel at3 o momento em que a rea33o com3a a parar 3 medida que o seu combust3vel (H) vai esgotando. Assim que o H esgotar, a estrela combinar3 os 3tomos de He rec3m-formados para formar 3tomos ainda mais densos, como: Carbono (C), Ne3nio (Ne), Oxig3nio (O), Sil3cio (Si) e Ferro (Fe), como mostra a Fig.3.1.

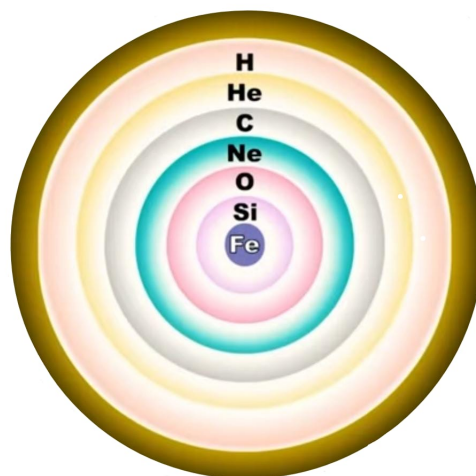


Figura 3.1: Forma33o de 3tomos mais densos por fus3o nuclear de uma estrela super massiva.

<sup>1</sup> $M_{\odot} = 1,9891 \times 10^{30}$  kg que 3 a massa solar.

<sup>2</sup>3 o processo pelo qual dois n3cleos at3micos leves se combinam para formar um n3cleo mais pesado, liberando uma quantidade significativa de energia. Esse 3 o processo que alimenta o sol e outras estrelas, onde os n3cleos de hidrog3nio se fundem para formar h3lio.

O Fe 3 e o ponto final do processo de fus3o nuclear porque fundir Fe n3o libera energia, na verdade, consome energia. Quando o n3cleo da estrela massiva se torna totalmente Fe, ele n3o pode mais suportar a press3o gravitacional e o n3cleo colapsa rapidamente em segundos, fazendo com que a densidade e a temperatura possam aumentar a n3veis extremos. E a r3pida compress3o do n3cleo provoca uma explos3o catastr3fica conhecida como *Supernova*. A Supernova expulsa as camadas externas da estrela para o espaço, como mat3ria e energia, deixando para tr3s o que restou da estrela, o seu n3cleo colapsado, como mostra a Fig.3.2.

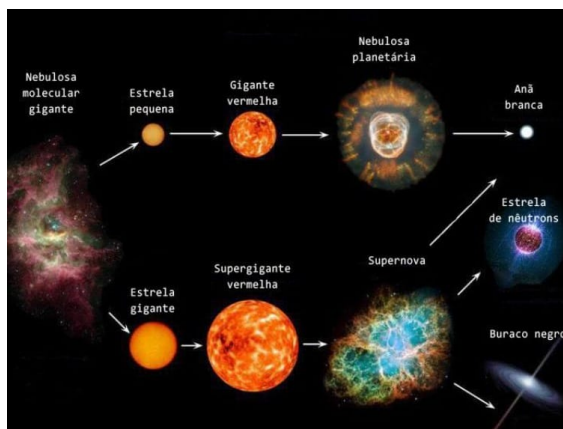


Figura 3.2: O ciclo de vida de uma estrela. Imagem fora da escala. Fonte: (Grossmann 2012)

De acordo com a massa do n3cleo remanescente ap3s a supernova, podem se formar diferentes objetos:

- **An3 Branca:** Tem uma densidade extremamente alta, com uma massa compar3vel 3 do Sol, mas um volume semelhante ao da Terra. Isso significa que a mat3ria em uma An3 Branca 3 comprimida a uma densidade milhares de vezes maior que a da mat3ria comum. Onde n3o pode ter uma massa maior que aproximadamente  $1,4 M_{\odot}$  (o chamado *limite de Chandrasekhar*). Acima dessa massa, a press3o de degeneresc3ncia dos el3trons n3o seria suficiente para equilibrar a gravidade, levando a um colapso gravitacional.
- **Estrela de N3utrons:** Se o n3cleo remanescente tiver uma massa pr3ximo de  $1,4$  a  $3 M_{\odot}$ , os pr3tons e el3trons se combinam para formar n3utrons, dando origem a uma estrela de n3utrons. Essas estrelas s3o extremamente densas, com massas compar3veis 3 do Sol, mas di3metros de apenas cerca de no m3ximo 25 quil3metros.
- **Buraco Negro:** Se o n3cleo remanescente for mais massivo do que o limite superior para uma estrela de n3utrons, que 3 de  $3 M_{\odot}$ , ele colapsar3 ainda mais, compactando-se em um corpo t3o denso que a gravidade superficial n3o deixa nem mesmo a luz escapar.

No ano de 1964 foram lançados dois foguetes suborbitais Aerobee<sup>3</sup> equipados com um par de Contadores Geiger<sup>4</sup> como parte de uma miss3o de mapear alguns pontos de origem

<sup>3</sup>Foguetes utilizados para experimentos de alta altitude na estratosfera e termosfera, proporcionando dados valiosos sobre a atmosfera, a radiaç3o c3smica e outras 3reas de pesquisa cient3fica.

<sup>4</sup>Instrumentos de detecç3o de radiaç3o ionizante, como: radiaç3o alfa, beta e gama.

de emiss3es de radia33o de alta energia. Ondas de alta energia, como raios X e raios gama, s3o bloqueadas pela nossa atmosfera, ent3o a observa33o de emiss3es mais energ3ticas devem ser feitas na 3rbita da Terra. Como resultado, foram mapeadas oito fontes de emiss3es de raios X. Uma delas chamou aten33o por ser extremamente forte, localizada em dire33o a *Constela33o de Cygnus* na nossa gal3xia (*Via L3ctea*) a cerca de 6.070 anos-luz<sup>5</sup> de dist3ncia da Terra, onde essa fonte foi posteriormente denominada *Cygnus X-1*. O *Leiden Observatory*, na Holanda, e o *National Radio Astronomy Observatory*, nos Estados Unidos, detectaram de forma independente que a fonte do sinal de raios X estava na estrela HDE 226868, uma supergigante azul. Mas tais emiss3es t3o intensas e energ3ticas n3o poderiam ser emitidas por uma estrela, portanto, HDE 226868 deveria ter um objeto companheiro invis3vel que fosse capaz de aquecer o g3s at3 milh3es de graus Celsius para que fosse capaz de emitir sinais de raios X (Hosti 2021).

Em 1971 foi anunciada a descoberta de um corpo celeste muito massivo junto de HDE 226868. Por meio de medidas de desvio de vermelho da luz da estrela supergigante, viu-se que essa estrela apresentava desvios peri3dicos, ora para o vermelho, ora para o azul. Ou seja, a estrela estava orbitando algo invis3vel e muito mais massivo do que ela mesma. Estimou-se que o objeto poderia ser um Buraco Negro, j3 que mesmo a maior estrela de n3utrons n3o conseguiria exceder tr3s massas solares. Foi ent3o, que no final de 1973, com diversas evid3ncias em m3os, a comunidade astron3mica j3 estava convencida de que *Cygnus X-1* de fato era um Buraco Negro com uma massa de  $15 M_{\odot}$  a  $20 M_{\odot}$ . Estava descoberto o primeiro Buraco Negro da hist3ria (Hosti 2021).

Por3m, somente em 2019, atrav3s do projeto *Event Horizon Telescope* (EHT), foi apresentada a primeira imagem de um Buraco Negro, por meio de uma rede de radiotelesc3pios espalhados por toda a Terra. Localizado na dire33o da *Constela33o de Virgem* na gal3xia de *Messier 87*, a aproximadamente 53,5 milh3es de anos-luz da Terra, est3 o Buraco Negro *M87\** Fig.3.3. Este 3 um Buraco Negro supermassivo, com uma massa equivalente a cerca de 6,5 bilh3es  $M_{\odot}$ .

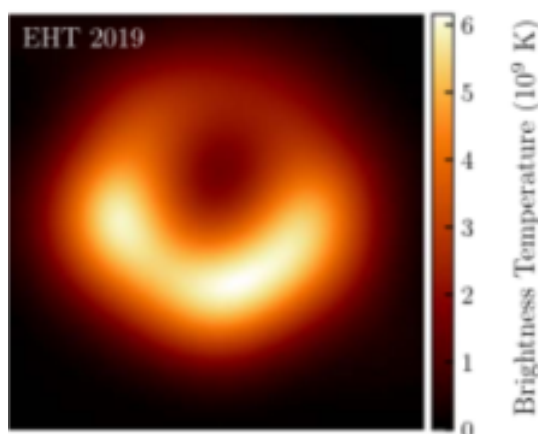


Figura 3.3: Foto do Buraco Negro *M87\**. Fonte: (Medeiros et al. 2023)

No ano de 1974 o F3sico *Karl Jansky* (1905-1950) detectou um sinal de r3dio vindo de um local no centro da *Via L3ctea*, na dire33o da *Constela33o de Sagit3rio*. Com isso,

<sup>5</sup>3 a dist3ncia que a luz viaja no v3cuo em um ano. 3 utilizada como unidade de comprimento para expressar dist3ncias astron3micas e 3 equivalente a cerca de 9,46 trilh3es de quil3metros ( $9,5 \times 10^{12}$  Km).

os Astr3nomos *Bruce Balick* e *Robert Brown*, usando o interfer3metro de linha de base do *Observat3rio Nacional de R3dio Astronomia* (NRAO), conseguiram identificar que esse sinal de r3dio poderia ser um Buraco Negro no Centro da Via L3ctea, onde este foi chamado de *Sagittarius A\** ou simplesmente *Sgr A\**. A confirma33o de que *Sgr A\** 3, de fato, um Buraco Negro supermassivo veio atrav3s das observa33es detalhadas do movimento das estrelas pr3ximas, na d3cada de 1990, utilizando telesc3pios infravermelhos e outras tecnologias avan3adas. Essas observa33es mostraram que as estrelas orbitavam rapidamente em torno de um objeto invis3vel e extremamente massivo, fornecendo evid3ncias conclusivas de que *Sgr A\** 3 um Buraco Negro supermassivo. Tal que *Sgr A\** possui uma massa equivalente a 4 milh3es  $M_{\odot}$  e est3 a cerca de 26 000 anos-luz da Terra (Broderick e Loeb 2009).

No dia 12 de maio de 2022, por meio do projeto EHT, foi divulgada a primeira imagem do Buraco Negro *Sgr A\**, como mostra a Fig.3.4.

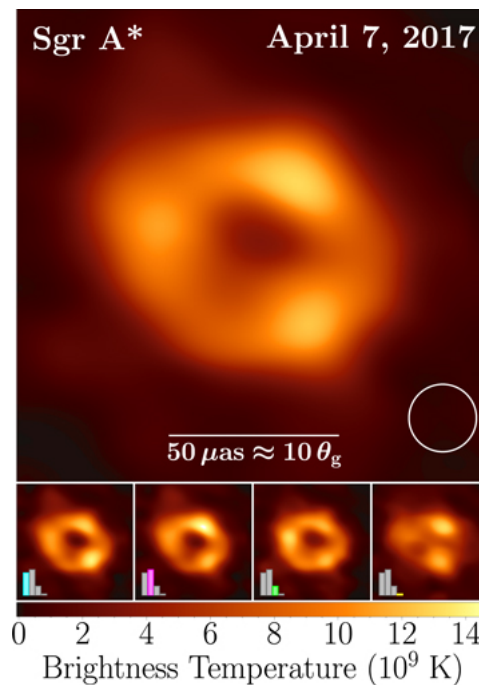


Figura 3.4: Foto do Buraco Negro *Sgr A\**. Fonte: (Collaboration et al. 2022)

### 3.1.2 Caracter3sticas de um Buraco Negro

Na sua Teoria da Relatividade Geral, Einstein prop3s que a gravidade n3o 3 apenas uma for3a entre massas, mas uma curvatura do espa3o-tempo causada pela presen3a de massa e energia. Um Buraco Negro, por ser muito massivo 3 capaz de gerar uma curvatura no espa3o-tempo ao seu redor, tal que esta 3 uma das manifesta33es mais extremas da gravidade descritas pela Teoria da Relatividade Geral. Com isso, temos que um Buraco Negro possui algumas caracter3sticas como mostra a Fig.3.5.

- **Singularidade:** A Singularidade de um Buraco Negro 3 uma regi3o no espa3o-tempo onde as leis da F3sica, como as conhecemos, deixam de se aplicar de forma normal. 3 um ponto de densidade infinita onde a curvatura do espa3o-tempo se torna infinita, e o

campo gravitacional 3 t3o intenso que nada, nem mesmo a luz, pode escapar. Onde a singularidade 3 cercada por uma fronteira esf3rica chamada *Horizonte de Eventos*.

- **Horizonte de Eventos:** O Horizonte de Eventos 3 a superf3cie imagin3ria que marca a fronteira do Buraco Negro. Define o limite em que a velocidade necess3ria para escapar de um Buraco Negro excede a velocidade da luz, que 3 o limite de velocidade no universo. Mat3ria e radia33o ficam presas e n3o conseguem sair.
- **Disco de Acre33o:** O Disco de Acre33o 3 uma estrutura formada por mat3ria em rota33o ao redor de um objeto central massivo, como o pr3prio Buraco Negro. Tal que essa mat3ria 3 composta de g3s e poeira que se aproximam do Buraco Negro devido a sua gravidade extrema. Por3m, essa mat3ria n3o cai diretamente no Horizonte de Eventos, ela fica girando em torno dele. Isso acontece por mecanismos b3sicos da F3sica, como a *Conserva33o de Momento Angular* e a *For3a Centr3fuga*. Os Buracos Negros geralmente giram em torno de si mesmos, criando um arrasto no pr3prio tecido do espa3o-tempo.

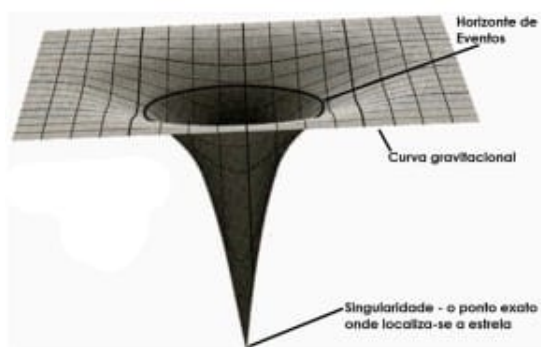


Figura 3.5: Representa33o de um Buraco Negro. Fonte: (Almeida 2021)

## 3.2 Buraco Negro de Schwarzschild

Um estudo mais preciso sobre Buracos Negros s3o foi poss3vel com o advento da Teoria da Relatividade Geral, formulada por Einstein em 1915. Em menos de dois meses ap3s a publica33o da Relatividade Geral, o Astr3nomo alem3o *Karl Schwarzschild* (1873-1916), que j3 acompanhava os trabalhos de Einstein em gravita33o, encontrou uma solu33o para as equa33es de Einstein. O Buraco Negro de Schwarzschild foi a primeira solu33o exata das equa33es da Relatividade Geral, al3m disso, s3o os mais simples que podem ser encontrados no universo. Na Relatividade Geral, descrever o espa3o-tempo correspondente 3 equivalente a fornecer uma *M3trica* que seja solu33o das equa33es de Einstein. A m3trica 3 um tensor que define a maneira como as dist3ncias e os 3ngulos s3o medidos em um espa3o curvo, isto 3, ela mostra como nossas r3guas e rel3gios s3o afetados pela presen3a de um corpo massivo. A M3trica de Schwarzschild, que descreve o espa3o-tempo em torno de um centro de atra33o de massa  $M$  esfericamente sim3trico, sem rota33o e sem carga el3trica, como 3 o Buraco Negro de Schwarzschild 3 dado por (Lobo 2006):

A m3trica de Schwarzschild descreve o espa3o-tempo em torno de uma massa esf3rica n3o-rotativa no v3cuo. A dedu33o come3a com a equa33o de campo de Einstein no v3cuo:

$$R_{\mu\nu} - \frac{1}{2}g_{\mu\nu}R = 0$$

que pode ser simplificada para:

$$R_{\mu\nu} = 0$$

#### 1. M3trica Gen3rica com Simetria Esf3rica:

Assumimos uma m3trica est3tica e esfericamente sim3trica da forma:

$$ds^2 = A(r)dt^2 - B(r)dr^2 - r^2d\theta^2 - \sin^2\theta d\phi^2$$

onde  $A(r)$  e  $B(r)$  s3o fun33es da coordenada radial  $r$ .

#### 2. Conex3es de Christoffel:

As componentes n3o nulas da conex3o de Christoffel s3o dadas por:

$$\begin{aligned} \Gamma_{tr}^t &= \frac{A'(r)}{2A(r)}, & \Gamma_{tt}^r &= \frac{A'(r)}{2B(r)}, & \Gamma_{rr}^r &= \frac{B'(r)}{2B(r)}, & \Gamma_{\theta\theta}^r &= -rB(r) \\ \Gamma_{\phi\phi}^r &= -rB(r)\sin^2\theta, & \Gamma_{r\theta}^\theta &= \frac{1}{r}, & \Gamma_{r\phi}^\phi &= \frac{1}{r} \end{aligned}$$

#### 3. Tensor de Ricci:

Agora, calculamos o tensor de Ricci  $R_{\mu\nu}$ . As componentes principais s3o:

Componente  $R_{tt}$ :

$$R_{tt} = \frac{A''(r)}{2B(r)} - \frac{A'(r)B'(r)}{4B^2(r)} + \frac{A'(r)}{rB(r)}$$

Componente  $R_{rr}$ :

$$R_{rr} = -\frac{A''(r)}{2A(r)} + \frac{A'(r)B'(r)}{4A(r)B(r)} + \frac{A'(r)}{rA(r)} - \frac{B'(r)}{rB(r)}$$

Componente  $R_{\theta\theta}$ :

$$R_{\theta\theta} = 1 - \frac{1}{B(r)} + \frac{rB'(r)}{2B^2(r)} - \frac{rA'(r)}{2A(r)B(r)}$$

#### 4. Resolver as Equa33es de Campo:

A equa33o  $R_{\mu\nu} = 0$  nos fornece um sistema de equa33es diferenciais. Vamos resolv4-las.

(i) Equa33o  $R_{rr} = 0$ :

A partir de  $R_{rr} = 0$ , temos:

$$\frac{A'(r)}{A(r)} + \frac{B'(r)}{B(r)} = 0$$

Integrando, obtemos:

$$A(r)B(r) = \text{constante}$$

Definimos essa constante como 1 para simplifica33o:

$$B(r) = \frac{1}{A(r)}$$

(ii) Equa33o  $R_{\theta\theta} = 0$ :

A partir de  $R_{\theta\theta} = 0$ , obtemos a seguinte equa33o diferencial para  $A(r)$ :

$$rA'(r) + A(r) - 1 = 0$$

A solu33o dessa equa33o 3e:

$$A(r) = 1 - \frac{C}{r}$$

onde  $C$  3e uma constante de integra33o.

5. Determina33o da Constante  $C$ :

Para grandes dist33ncias  $r$ ,  $A(r)$  deve se aproximar do potencial gravitacional newtoniano:

$$\lim_{r \rightarrow \infty} A(r) = 1 - \frac{2GM}{r}$$

Portanto,  $C = 2GM$ , onde  $M$  3e a massa do objeto central. Assim, temos:

$$A(r) = 1 - \frac{2GM}{r}$$

6. M3trica de Schwarzschild:

Substituindo  $A(r) = 1 - \frac{2GM}{r}$  e  $B(r) = \frac{1}{A(r)}$  na m3trica original, obtemos a m3trica de Schwarzschild:

$$ds^2 = \left(1 - \frac{2GM}{c^2 r}\right) c^2 dt^2 - \left(1 - \frac{2GM}{c^2 r}\right)^{-1} dr^2 - r^2 d\theta^2 - r^2 \sin^2 \theta d\phi^2 \quad (3.1)$$

Esta 3e a m3trica de Schwarzschild, que descreve o espa33o-tempo em torno de uma massa esfericamente sim3trica no v3cuo.

onde:

- $ds$  3e o intervalo espa33o-tempo.
- $G$  3e a constante de gravita33o universal.
- $M$  3e a massa do objeto central.
- $c$  3e a velocidade da luz no v3cuo.
- $dt$  3e o tempo pr3prio medido por um observador em repouso no infinito.
- $r$  3e a coordenada radial.

- $\theta$  3 o 3ngulo polar.
- $\phi$  3 o 3ngulo azimutal.

Na Eq.3.1 temos as seguintes considera33es:

- O fator de curvatura  $\left(1 - \frac{2GM}{c^2 r}\right)$  que aparece em  $dt$  e  $dr$  depende apenas de  $r$  uma vez que o centro de atra333o 3 esfericamente sim3trico, isto 3, o objeto 3 o mesmo para qualquer valor de  $\phi$ . Por isso n3o se pode ter um valor de curvatura dependente de  $\phi$  (Lobo 2006).
- No limite de grandes dist3ncias a curvatura tende a 1 como era de se esperar. Longe da fonte o campo gravitacional se aproxima de zero e a m3trica de Schwarzschild se aproxima a uma m3trica do espa3o-tempo plano (Lobo 2006).
- Para  $M = 0$ , a m3trica de Schwarzschild se reduz novamente a uma m3trica onde o espa3o-tempo 3 plano, como deveria. Aus3ncia de fontes n3o produz curvatura (Lobo 2006).

A *M3trica de Schwarzschild* n3o 3 apenas uma solu333o para as equa33es de Einstein, ela 3 uma ferramenta indispens3vel para descrever o comportamento do espa3o-tempo em torno de objetos massivos. Sua import3ncia reside na previs3o de Buracos Negros, explica33es para observa33es astron3micas, como o avan3o do peri3lio de Merc3rio e o desvio gravitacional da luz, e na consolida33o da relatividade geral como uma teoria bem-sucedida da gravita33o. Al3m disso, a m3trica continua sendo crucial para o desenvolvimento de teorias mais avan3adas, como a *Gravita33o qu3ntica*.

### 3.2.1 Horizonte de eventos de Schwarzschild

O Horizonte de Eventos de um Buraco Negro de Schwarzschild 3 uma superf3cie esf3rica imagin3ria que marca o limite al3m do qual nada pode escapar da atra33o gravitacional do Buraco Negro. 3 definido pelo *Raio de Schwarzschild* ( $R_s$ ) que depende da massa do Buraco Negro, dado por (Bergliaffa 2023):

$$R_s = \frac{2GM}{c^2} \quad (3.2)$$

Como o  $R_s$  depende da massa do Buraco Negro, temos que para os Buracos Negros  $M87^*$  e  $Sgr A^*$ , o  $R_s$  ser3 19.2 bilh3es de Km e 11.8 milh3es de Km, respectivamente.

Nas proximidades do Horizonte de Eventos muitos fen3menos f3sicos ocorrem. Onde um dos principais fen3menos 3 a *Dilata33o Gravitacional do Tempo*, que ocorre devido intensa curvatura do espa3o-tempo causada pela gravidade extrema do Buraco Negro, mostrando a profunda influ3ncia que essa gravidade tem sobre o *tempo* e o *espa3o*. Para um observador pr3ximo ao Horizonte de Eventos o tempo tende a zero. Com isso, esse observador vai sentir *For3as de mar3*<sup>6</sup> extremas, levando 3 *Espaguetifica33o*, onde ser3 esticado na dire33o radial e comprimido nas dire33es transversais devido 3 varia33o intensa da for3a gravitacional (W3rz 2022).

<sup>6</sup>A for3a de mar3 refere-se 3s for3as gravitacionais que um corpo celeste exerce sobre outro, causando distor33es ou deforma33es. No caso de um Buraco Negro supermassivo, se uma estrela se aproxima muito dele, as for3as de mar3 s3o t3o fortes que fazem com que ela seja completamente destru3da, e sua mat3ria espirale em dire33o a ele, formando um disco de acre33o.

No entanto, para um observador distante o tempo passar3 de forma que estamos habituados em nosso dia a dia, al3m disso, A luz emitida por um objeto pr3ximo ao Horizonte de Eventos ser3 deslocada para o vermelho (redshift), tornando-se menos energ3tica. Para O observador distante, a luz se torna progressivamente mais vermelha e menos vis3vel 3 medida que o objeto se aproxima do horizonte de eventos.

Para a Dilata3o Gravitacional do Tempo, focamos no componente temporal da Eq.3.1, com isso temos que a rela3o entre o Tempo Pr3prio ( $\tau$ ) e o Tempo Coordenado ( $t$ ) 3:

$$ds^2 = \left(1 - \frac{2GM}{c^2 r}\right) c^2 dt^2 \quad (3.3)$$

Onde o Tempo Pr3prio ( $\tau$ ) entre dois eventos 3 dado por:

$$d\tau = \frac{ds}{c} \quad (3.4)$$

Substituindo a Eq.3.3 na Eq.3.4, temos:

$$d\tau = \frac{\sqrt{\left(1 - \frac{2GM}{c^2 r}\right) c^2 dt^2}}{c}$$

$$d\tau = c dt \frac{\sqrt{\left(1 - \frac{2GM}{c^2 r}\right)}}{c}$$

$$d\tau = \sqrt{1 - \frac{2GM}{c^2 r}} dt \quad (3.5)$$

A Eq.3.5 determina a Dilata3o Gravitacional do Tempo nas proximidades de um Buraco Negro de Schwarzschild.

Onde:

- $d\tau$  3 o intervalo de tempo medido por um observador pr3ximo ao buraco negro.
- $r$  3 a dist3ncia radial do centro do buraco negro.
- $dt$  3 o intervalo de tempo medido por um observador distante, fora do campo gravitacional do Buraco Negro de Schwarzschild.

### 3.2.2 3rbitas Circulares Est3veis mais Internas (ISCO)

Ao analisar a trajet3ria de uma part3cula de teste massiva e sem rota3o orbitando um Buraco Negro central, pode-se obter um raio m3nimo no qual uma part3cula consegue sustentar uma 3rbita circular est3vel. Este raio 3 chamado de 3rbita Circular Est3vel mais Interna (ISCO, do ingl3s “*Innermost Stable Circular Orbits*”), sendo bastante importante pois em qualquer ponto al3m da ISCO, a 3rbita circular de uma part3cula em torno do Buraco Negro 3 est3vel. Por3m, ap3s atravessar o ISCO, uma pequena perturba3o na 3rbita j3 causaria uma r3pida espiral em dire3o ao centro do Buraco Negro (Scarpin 2022). Onde a *Energia Espec3fica E* e o *Momento*

*Angular Específico L* de uma partcula em 3rbita no ISCO s3o tais que qualquer diminui33o no raio da 3rbita levar3a a uma perda significativa de estabilidade, fazendo com que a partcula espirale para dentro do Buraco Negro ou escape para uma 3rbita mais distante.

A localiza33o do ISCO estabelece o limite interno dos discos de acre33o ao redor de Buracos Negros. O material em um disco de acre33o pode se mover em 3rbitas est3aveis at3e a ISCO. Dentro deste raio, o material geralmente cai rapidamente no Buraco Negro. Portanto, o ISCO executa um papel crucial na din3mica dos discos de acre33o e na emiss3o de radia33o, especialmente na faixa de raios-X. A radia33o emitida pelo material no disco de acre33o pr3ximo ao ISCO pode oferecer informa33es sobre a F3sica extrema nos arredores dos Buracos Negros. A alta energia e o momento angular do material no ISCO auxiliam para processos de emiss3o complexos e altamente energ3ticos, que podem ser observados por telesc3pios de raios-X (Espinosa 2022).

Para o Buraco Negro de Schwarzschild, o ISCO define a dist3ncia mais pr3xima onde uma partcula pode manter uma 3rbita circular est3vel sem espiralar para dentro do Buraco Negro, como mostra a Fig.3.6.

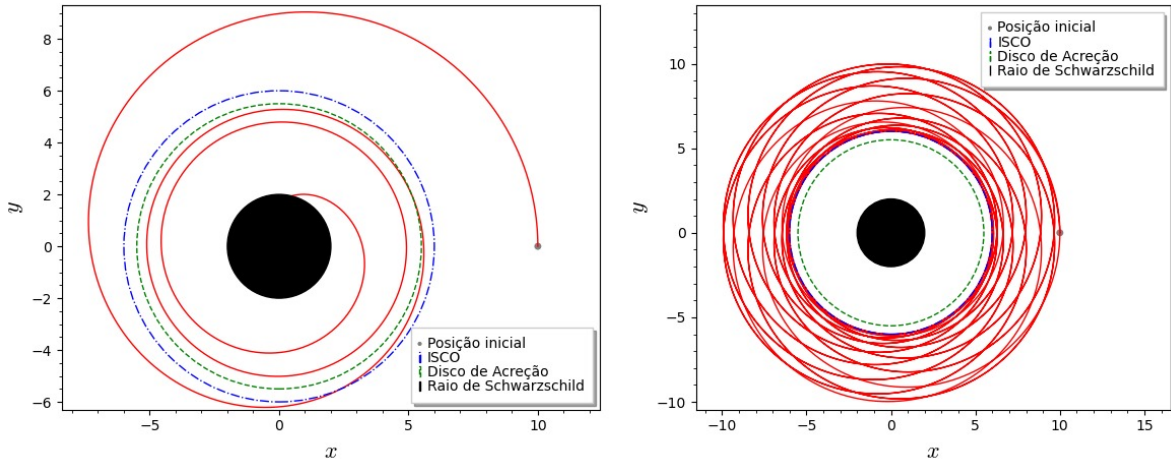


Figura 3.6: Simula33o orbital para uma partcula caindo a partir de uma 3rbita el3ptica perto de um Buraco Negro de Schwarzschild. Fonte: autoria pr3pria.

Nesta condi33o, temos que o raio do ISCO ( $r_s$ ) 3e definido tomando a M3trica de Schwarzschild Eq.3.1:

$$ds^2 = \left(1 - \frac{2GM}{c^2 r}\right) c^2 dt^2 - \left(1 - \frac{2GM}{c^2 r}\right)^{-1} dr^2 - r^2 d\theta^2 - r^2 \sin^2 \theta d\phi^2$$

Temos  $\theta = \frac{\pi}{2}$  e  $d\theta = 0$  para 3rbitas circulares no Plano Equatorial, ent3o:

$$ds^2 = \left(1 - \frac{2GM}{c^2 r}\right) c^2 dt^2 - \left(1 - \frac{2GM}{c^2 r}\right)^{-1} dr^2 - r^2 d\phi^2 \quad (3.6)$$

Temos que a *Lagrangeana*  $\mathcal{L}$  no plano equatorial 3e:

$$\mathcal{L} = \frac{1}{2} \left[ \left( 1 - \frac{2GM}{c^2 r} \right) c^2 \dot{t}^2 - \left( 1 - \frac{2GM}{c^2 r} \right)^{-1} \dot{r}^2 - r^2 \dot{\phi}^2 \right] \quad (3.7)$$

Onde:  $\dot{t} = \frac{d}{d\tau} t$ ,  $\dot{r} = \frac{d}{d\tau} r$  e  $\dot{\phi} = \frac{d}{d\tau} \phi$ .

Temos que a *Conserva33o da Energia E* 3:

$$\begin{aligned} \frac{\partial}{\partial \dot{t}} \mathcal{L} &= \frac{\partial}{\partial \dot{t}} \left\{ \frac{1}{2} \left[ \left( 1 - \frac{2GM}{c^2 r} \right) c^2 \dot{t}^2 - \left( 1 - \frac{2GM}{c^2 r} \right)^{-1} \dot{r}^2 - r^2 \dot{\phi}^2 \right] \right\} \\ \frac{\partial}{\partial \dot{t}} \mathcal{L} &= \frac{\partial}{\partial \dot{t}} \left\{ \frac{1}{2} \left[ \left( 1 - \frac{2GM}{c^2 r} \right) c^2 \dot{t}^2 \right] \right\} \\ \frac{\partial}{\partial \dot{t}} \mathcal{L} &= \frac{1}{2} \left( 1 - \frac{2GM}{c^2 r} \right) c^2 \frac{\partial}{\partial \dot{t}} (\dot{t}^2) \\ \frac{\partial}{\partial \dot{t}} \mathcal{L} &= \frac{1}{2} \left( 1 - \frac{2GM}{c^2 r} \right) c^2 2\dot{t} \\ \frac{\partial}{\partial \dot{t}} \mathcal{L} &= \left( 1 - \frac{2GM}{c^2 r} \right) c^2 \dot{t} = \mathbf{E} \\ \mathbf{E} &= \left( 1 - \frac{2GM}{c^2 r} \right) c^2 \dot{t} \\ \dot{t} &= \frac{\mathbf{E}}{\left( 1 - \frac{2GM}{c^2 r} \right) c^2} \end{aligned} \quad (3.8)$$

O *Momento Angular L* 3 conservado e dado por:

$$\begin{aligned} \frac{\partial}{\partial \dot{\phi}} \mathcal{L} &= \frac{\partial}{\partial \dot{\phi}} \left\{ \frac{1}{2} \left[ \left( 1 - \frac{2GM}{c^2 r} \right) c^2 \dot{t}^2 - \left( 1 - \frac{2GM}{c^2 r} \right)^{-1} \dot{r}^2 - r^2 \dot{\phi}^2 \right] \right\} \\ \frac{\partial}{\partial \dot{\phi}} \mathcal{L} &= \frac{\partial}{\partial \dot{\phi}} \left( -\frac{1}{2} r^2 \dot{\phi}^2 \right) \\ \frac{\partial}{\partial \dot{\phi}} \mathcal{L} &= -\frac{1}{2} r^2 \frac{\partial}{\partial \dot{\phi}} (\dot{\phi}^2) \\ \frac{\partial}{\partial \dot{\phi}} \mathcal{L} &= -r^2 \dot{\phi} = \mathbf{L} \\ \dot{\phi} &= -\frac{\mathbf{L}}{r^2} \end{aligned} \quad (3.9)$$

Para *3rbitas Circulares a Lagrangeana* 3 definida como:

$$\mathcal{L} = \frac{1}{2} \left[ \left( 1 - \frac{2GM}{c^2 r} \right) c^2 \dot{t}^2 - \left( 1 - \frac{2GM}{c^2 r} \right)^{-1} \dot{r}^2 - r^2 \dot{\phi}^2 \right]$$

Para  $\dot{r} = 0$ ,

$$\mathcal{L} = \frac{1}{2} \left[ \left( 1 - \frac{2GM}{c^2 r} \right) c^2 \dot{t}^2 - r^2 \dot{\phi}^2 \right] \quad (3.10)$$

Agora calcularmos o *Potencial Efetivo*  $\mathbf{V}_{eff}$ . Tal que este potencial na Cosmologia 3 é usado para descrever as 33rbitas poss3veis das part3culas ao redor de um Buraco Negro. Ele inclui os efeitos combinados da gravidade do objeto central e das for3as inerciais das part3culas em 33rbita. O potencial efetivo no ISCO 33 particularmente importante para determinar caracter3sticas como a estabilidade das 33rbitas ao redor do Buraco Negro, como tamb3m, ajuda a calcular a posi33o exata do ISCO e as propriedades das 33rbitas est3veis pr3ximas ao Buraco Negro, como a velocidade orbital, o per3odo orbital e a energia potencial efetiva associada 33 33rbita. Portanto, temos que o  $\mathbf{V}_{eff}$  33 dado definido pela Eq.3.10 da seguinte maneira:

$$\mathbf{V}_{eff} = \frac{1}{2} \left[ \left( 1 - \frac{2GM}{c^2 r} \right) c^2 \dot{t}^2 - r^2 \dot{\phi}^2 \right]$$

Substituindo  $\dot{t}$  e  $\dot{\phi}$  na equa33o acima, temos:

$$\mathbf{V}_{eff} = \frac{1}{2} \left\{ \left( 1 - \frac{2GM}{c^2 r} \right) c^2 \left[ \frac{\mathbf{E}}{\left( 1 - \frac{2GM}{c^2 r} \right) c^2} \right]^2 - r^2 \left[ -\frac{\mathbf{L}}{r^2} \right]^2 \right\}$$

$$\mathbf{V}_{eff} = \left( 1 - \frac{2GM}{c^2 r} \right) \frac{\mathbf{L}^2}{2r} \quad (3.11)$$

Derivando a Eq.3.11, e considerando para 33rbitas est3veis  $\frac{d}{dr} \mathbf{V}_{eff} = 0$ , temos:

$$\frac{d}{dr} \mathbf{V}_{eff} = \frac{d}{dr} \left[ \left( 1 - \frac{2GM}{c^2 r} \right) \frac{\mathbf{L}^2}{2r} \right]$$

Pela *Regra do Produto*,

$$\frac{d}{dr} \left( 1 - \frac{2GM}{c^2 r} \right) \frac{\mathbf{L}^2}{2r} + \left( 1 - \frac{2GM}{c^2 r} \right) \frac{d}{dr} \frac{\mathbf{L}^2}{2r} = 0$$

$$r^{-2} \left( \frac{2GM}{c^2} \right) \frac{\mathbf{L}^2}{2r} + \left( 1 - \frac{2GM}{c^2 r} \right) (-r^{-2}) \frac{\mathbf{L}^2}{2} = 0$$

$$-3r^{-4} \left( \frac{2GM\mathbf{L}^2}{c^2} \right) - 2r^{-3} \left( \frac{\mathbf{L}^2}{2} \right) = 0$$

$$-\frac{6GM\mathbf{L}^2}{c^2 r^4} - \frac{\mathbf{L}^2}{r^3} = 0$$

$$\frac{6GM\mathbf{L}^2}{c^2r^4} = \frac{\mathbf{L}^2}{r^3}$$

$$r = \frac{6GM}{c^2}$$

Onde,  $\frac{2GM}{c^2}$  3 o *Raio de Schwarzschild* ( $R_S$ ) dado na Eq.3.2. Portanto:

$$r_s = 3R_S \quad (3.12)$$

A Eq.3.12 determina o Raio do ISCO.

### 3.2.3 3rbitas nas Proximidades de um Buraco Negro de Schwarzschild

Temos que a 3rbita na proximidade de um Buraco Negro de Schwarzschild existem para  $r > r_s$ . A frequ3ncia orbital, energia e momento angular dessas 3rbitas dependem do raio  $r$ . Essas 3rbitas s3o fundamentais para entender a din3mica de discos de acre33o e a emiss3o de radia3o do Buraco Negro, proporcionando uma base para estudos observacionais e te3ricos em Astrof3sica Relativ3stica.

No entanto, devido 3 curvatura do espa3o-tempo, uma 3rbita que n3o seja perfeitamente circular experimentar3 uma *Precess3o do peri3lio* ou *Precess3o relativ3stica*. Tal que, o Peri3lio 3 o ponto da 3rbita de uma part3cula, na qual ela est3 mais pr3xima do Buraco Negro que est3 orbitando, onde em um campo gravitacional relativ3stico, o peri3lio da 3rbita dessa part3cula avança lentamente ao longo do tempo criando uma 3rbita em espiral, de maneira que a part3cula n3o retorna ao mesmo ponto ap3s uma revolu3o completa. Este avan3o 3 conhecido como *precess3o do peri3lio* (Silva 2018).

A *precess3o do peri3lio* 3 representada na Fig.3.7, onde mostra a 3rbita na forma de *roseta*.

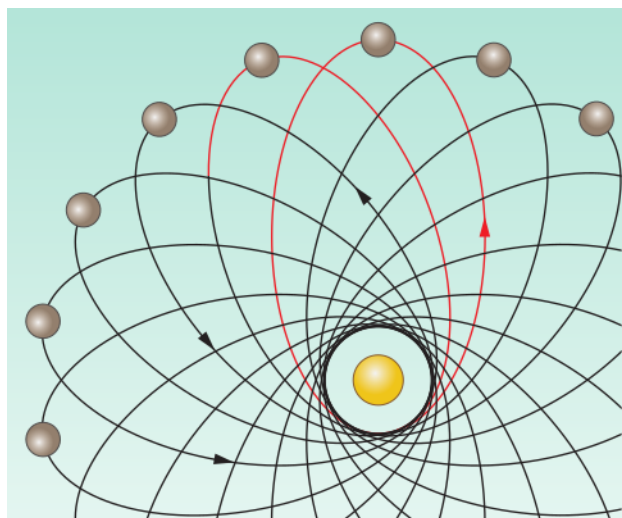


Figura 3.7: Precess3o do peri3lio em roseta criado pela rota3o de uma 3rbita quase el3ptica em seu pr3prio plano. Fonte: (Lambourne 2010).

Para um Buraco Negro de Schwarzschild, a equa33o que descreve a precess33o do peri33lio 33:

$$\Delta\phi = \frac{6\pi GM}{c^2 a (1 - e^2)} \quad (3.13)$$

Onde:

- $\Delta\phi$  33 o avan33o do peri33lio por 33rbita.
- $a$  33 o semi-eixo maior da 33rbita el33ptica.
- $e$  33 a excentricidade da 33rbita.

A Excentricidade da 33rbita indica o quanto a 33rbita se desvia de ser um c33rculo perfeito, onde esta 33 uma grandeza adimensional que varia de  $0 < e < 1$  para 33rbitas el33pticas. Com isso, temos que quando a excentricidade cresce a elipse torna-se mais achatada e quando a excentricidade tende para zero a elipse tende para a circunfer33ncia.

### 3.3 Cordas C3smicas

*Defeitos topol33gicos* s33o uma consequ33ncia natural de v33rios modelos que procuram entender o cen33rio padr33o (for33as eletrofracas e fortes) das intera333es fundamentais. Admite-se que essas intera333es se unifiquem numa escala de energia alta, como a *Teoria da Grande Unifica33o* (GUT do ingl33s “*grand unification theory*”), cujo valor, que depende do modelo, 33 da ordem de  $10^{16}$  GeV <sup>7</sup>. 33 medida que o universo esfriou, passando de temperaturas compar33veis 33s da GUT para temperaturas menores, ocorreram *Transi333es de fase*, e isso deu origem a regi33es nas quais as fases iniciais ficaram confinadas. Tais regi33es, por serem topologicamente est33veis, s33o chamadas defeitos topol33gicos (Rocha 2009).

Os defeitos topol33gicos s33o basicamente de tr33s tipos: *Monopolos* (objetos puntiformes), *Muros de dom33nio* (superf33cies de descontinuidade) e *Cordas c33smicas* (linhas extensas). Apenas Cordas c33smicas e Muros de dom33nio podem cruzar o universo inteiro. No instante de sua forma33o, os defeitos surgem como uma rede que se desenvolve, posteriormente, por causa de sua pr33pria din33mica e da expans33o do universo. Portanto, a influ33ncia cosmol33gica dos defeitos topol33gicos depende crucialmente de sua din33mica (Rocha 2009).

Durante essa transi333o de fase nos primeiros instantes de evolu33o do universo, houve uma quebra de simetria no universo primitivo, ou seja, algumas regi33es evolu33ram de modo um pouco diferente das demais em termos de distribui33o de massa. Com isso, Podemos comparar as cordas c33smicas com as rachaduras dentro de uma pedra de gelo, que se formam 33 medida que um ponto de nuclea33o aleat33rio inicia o processo de congelamento da 33gua. A partir desse momento, a cristaliza33o ocorre de modo desigual, formando linhas semelhantes a rachaduras por todo o gelo. Com o universo, poderia ter sido semelhante: 33 medida que se expandia nos primeiros instantes de modo desigual, as fissuras se espalharam por todo o cosmos. Da mesma forma que as fissuras no gelo surgem durante a transi333o de estado da 33gua, as cordas

<sup>7</sup>33 33 abrevia33o para Giga Eletron Volts, uma unidade de medida de energia usada principalmente na F33sica de part33culas. Um Giga Eletron Volt (GeV) equivale a um bilh33o de eletronvolts (eV).

c3smicas surgiram nas transi33es do est3gio de v3cuo da expans3o e do resfriamento do universo primordial (Cavalcante e Gnipper 2023).

Elas s3o essencialmente fissuras ou falhas unidimensionais no espa3o-tempo, semelhantes 3s falhas que podem se formar em cristais quando eles se solidificam. S3o objetos unidimensionais, alongados e finos, com comprimento potencialmente infinito, mas com uma largura infinitesimalmente pequena e com uma densidade de energia extremamente alta, o que significa que uma pequena quantidade de corda c3smica pode conter uma quantidade enorme de massa-energia.

A import3ncia das Cordas c3smicas consiste em sua capacidade de relacionar as grandes escalas cosmol3gicas com as pequenas escalas da f3sica de part3culas. Elas s3o uma manifesta33o da GUT, que tentam conectar as for3as fundamentais da natureza (gravidade, eletromagnetismo, intera33es fracas e fortes) em um 3nico quadro. Se forem detectadas, as Cordas c3smicas podem proporcionar evid3ncias para a f3sica de alt3ssimas energias e ajudar3o a esclarecer os processos que ocorreram no universo primordial. Elas podem abrir uma nova janela para entendermos a origem do universo e as poss3veis transi33es de fase que ocorreram ap3s o Big Bang.

A equa33o da corda c3smica pode ser obtida a partir de uma distribui33o infinitamente concentrada de mat3ria, com *densidade de energia*  $\sigma$ , Onde o elemento de linha do espa3o-tempo de uma corda c3smica infinita 3:

$$ds^2 = A_{(\rho)}^2 dt^2 - d\rho^2 - c_{(\rho)}^2 d\theta^2 - A_{(\rho)}^2 dz^2 \quad (3.14)$$

No caso de uma certa distribui33o estar localizada sobre o eixo azimutal  $z$ , o *Tensor energia-momento* Eq. 2.30, em coordenadas cil3ndricas, 3 dado por:

$$T_{\mu\nu} = \sigma_{(\rho)} \text{diag}(1, 0, 0, 1) \delta^2(\mathbf{r}) \quad (3.15)$$

Onde a fun33o  $\delta^2(\mathbf{r})$  3 a fun33o *delta de Dirac* em duas dimens3es.

Considerando a Equa33o de campo de Einstein Eq.2.44, pode ser reescrita da seguinte maneira:

$$R_{\mu\nu} = k \left( T_{\mu\nu} - \frac{1}{2} g_{\mu\nu} T \right) \quad (3.16)$$

Sendo assim, temos que o *Tensor de Ricci*  $R_{\mu\nu}$  para cada coordenada da Eq.3.16 3:

$$R_{tt} = R_{zz} = \frac{1}{A_{(\rho)}} \frac{d^2 A_{(\rho)}}{d\rho^2} + \frac{1}{A_{(\rho)} C_{(\rho)}} \frac{dA_{(\rho)}}{d\rho} \frac{dC_{(\rho)}}{d\rho} + \frac{1}{A_{(\rho)}^2} \left( \frac{dA_{(\rho)}}{d\rho} \right)^2 \quad (3.17)$$

$$R_{\rho\rho} = \frac{2}{A_{(\rho)}} \frac{d^2 A_{(\rho)}}{d\rho^2} + \frac{1}{C_{(\rho)}} \frac{d^2 C_{(\rho)}}{d\rho^2} \quad (3.18)$$

$$R_{\theta\theta} = \frac{1}{C_{(\rho)}} \frac{d^2 C_{(\rho)}}{d\rho^2} + \frac{2}{A_{(\rho)} C_{(\rho)}} \frac{dA_{(\rho)}}{d\rho} \frac{dC_{(\rho)}}{d\rho} \quad (3.19)$$

E para  $T$ , temos que:

$$T = T_{tt} + T_{\rho\rho} + T_{\theta\theta} + T_{zz}$$

$$T = \sigma + 0 + 0 + \sigma$$

$$T = 2\sigma \quad (3.20)$$

Definindo agora as *M3tricas*  $g_{\mu\nu}$ , temos

- Para  $g_{tt}$ :

$$g_{tt} = g^{t\alpha} g_{\alpha t}$$

$$g_{tt} = g^{tt} g_{tt} + \underbrace{g^{t\rho} g_{\rho t}}_0 + \underbrace{g^{t\theta} g_{\theta t}}_0 + \underbrace{g^{tz} g_{zt}}_0$$

$$g_{tt} = g^{tt} g_{tt}$$

$$g_{tt} = \frac{1}{A^2} A^2$$

$$g_{tt} = 1 \quad (3.21)$$

- Para  $g_{\rho\rho}$ :

$$g_{\rho\rho} = g^{\rho\alpha} g_{\alpha\rho}$$

$$g_{\rho\rho} = \underbrace{g^{\rho t} g_{t\rho}}_0 + g^{\rho\rho} g_{\rho\rho} + \underbrace{g^{\rho\theta} g_{\theta\rho}}_0 + \underbrace{g^{\rho z} g_{z\rho}}_0$$

$$g_{\rho\rho} = g^{\rho\rho} g_{\rho\rho}$$

$$g_{\rho\rho} = \begin{pmatrix} 1 \\ -1 \end{pmatrix} (-1)$$

$$g_{\rho\rho} = 1 \quad (3.22)$$

- Para  $g_{\theta\theta}$ :

$$g_{\theta\theta} = g^{\theta\alpha} g_{\alpha\theta}$$

$$g_{\theta\theta} = \underbrace{g^{\theta t} g_{t\theta}}_0 + \underbrace{g^{\theta\rho} g_{\rho\theta}}_0 + g^{\theta\theta} g_{\theta\theta} + \underbrace{g^{\theta z} g_{z\theta}}_0$$

$$g_{\theta\theta} = g^{\theta\theta} g_{\theta\theta}$$

$$g_{\theta\theta} = -\frac{1}{C^2} (-C^2)$$

$$g_{\theta\theta} = 1 \quad (3.23)$$

- Para  $g_{zz}$ :

$$g_{zz} = g^{z\alpha} g_{\alpha z}$$

$$g_{zz} = \underbrace{g^{zt} g_{tz}}_0 + \underbrace{g^{zp} g_{pz}}_0 + \underbrace{g^{z\theta} g_{\theta z}}_0 + g^{zz} g_{zz}$$

$$g_{zz} = g^{zz} g_{zz}$$

$$g_{zz} = -\frac{1}{A^2} (-A^2)$$

$$g_{zz} = 1 \quad (3.24)$$

Atrav3s da Eq.3.16, podemos substituir pelas *M3tricas* encontradas e pelo *Tensor Energia-Momento* da seguinte maneira:

- Para  $g_{tt}$  e  $T_{tt}$ :

$$R_{\mu\nu} = k \left( T_{\mu\nu} - \frac{1}{2} g_{\mu\nu} T \right)$$

$$R_{tt} = k \left( T_{tt} - \frac{1}{2} g_{tt} T \right)$$

$$R_{tt} = k \left( \sigma - \frac{1}{2} 2\sigma \right)$$

$$R_{tt} = k(\sigma - \sigma)$$

$$R_{tt} = 0 \quad (3.25)$$

- Para  $g_{\rho\rho}$  e  $T_{\rho\rho}$ :

$$R_{\mu\nu} = k \left( T_{\mu\nu} - \frac{1}{2} g_{\mu\nu} T \right)$$

$$\begin{aligned}
R_{\rho\rho} &= k \left( T_{\rho\rho} - \frac{1}{2} g_{\rho\rho} T \right) \\
R_{\rho\rho} &= k \left( 0 - \frac{1}{2} 2\sigma \right) \\
R_{\rho\rho} &= k(0 - \sigma) \\
R_{\rho\rho} &= -k\sigma
\end{aligned} \tag{3.26}$$

• Para  $g_{\theta\theta}$  e  $T_{\theta\theta}$ :

$$\begin{aligned}
R_{\mu\nu} &= k \left( T_{\mu\nu} - \frac{1}{2} g_{\mu\nu} T \right) \\
R_{\theta\theta} &= k \left( T_{\theta\theta} - \frac{1}{2} g_{\theta\theta} T \right) \\
R_{\theta\theta} &= k \left( 0 - \frac{1}{2} 2\sigma \right) \\
R_{\theta\theta} &= -k\sigma
\end{aligned} \tag{3.27}$$

• Para  $g_{zz}$  e  $T_{zz}$ :

$$\begin{aligned}
R_{\mu\nu} &= k \left( T_{\mu\nu} - \frac{1}{2} g_{\mu\nu} T \right) \\
R_{zz} &= k \left( T_{zz} - \frac{1}{2} g_{zz} T \right) \\
R_{zz} &= k \left( \sigma - \frac{1}{2} 2\sigma \right) \\
R_{zz} &= 0
\end{aligned} \tag{3.28}$$

Substituindo a Eq.3.27 na Eq.3.19, temos:

$$\begin{aligned}
R_{\theta\theta} &= \frac{1}{C_{(\rho)}} \frac{d^2 C_{(\rho)}}{d\rho^2} + \frac{2}{A_{(\rho)} C_{(\rho)}} \frac{dA_{(\rho)}}{d\rho} \frac{dC_{(\rho)}}{d\rho} \\
\frac{1}{C_{(\rho)}} \frac{d^2 C_{(\rho)}}{d\rho^2} + \frac{2}{A_{(\rho)} C_{(\rho)}} \frac{dA_{(\rho)}}{d\rho} \frac{dC_{(\rho)}}{d\rho} &= -k\sigma
\end{aligned} \tag{3.29}$$

A conserva33o de energia nos fornece mais uma equa33o diferencial da seguinte maneira:

$$\nabla_{\mu} T_{\mu\nu} = 0$$

$$\frac{\partial}{\partial x^{\mu}} \Gamma^{\mu}_{\nu} + \Gamma^{\mu}_{\mu\alpha} \Gamma^{\alpha}_{\nu} - \Gamma^{\alpha}_{\mu\nu} \Gamma^{\mu}_{\alpha} = 0$$

- Para  $\mu = \alpha = 0$  e  $\nu = 1$ , temos:

$$\underbrace{\frac{\partial}{\partial x^0} \Gamma^0_1}_0 + \underbrace{\Gamma^0_{00} \Gamma^0_1}_0 - \Gamma^0_{01} \Gamma^0_1 = 0$$

$$-\Gamma^0_{01} \Gamma^0_1 = 0$$

- Temos que  $\Gamma^0_{01} = T^t_{t\rho} = \frac{1}{A} \frac{dA}{d\rho}$  e  $T^0_0 = \sigma$ . Assim,

$$-\frac{1}{A} \frac{dA}{d\rho} = 0 \tag{3.30}$$

Substituindo a Eq.3.30 na Eq.3.29, temos:

$$\frac{1}{C_{(\rho)}} \frac{d^2 C_{(\rho)}}{d\rho^2} - \frac{2}{C_{(\rho)}} \underbrace{\frac{dA_{(\rho)}}{A d\rho}}_0 \frac{dC_{(\rho)}}{d\rho} = -k\sigma$$

$$\frac{1}{C_{(\rho)}} \frac{d^2 C_{(\rho)}}{d\rho^2} = -k\sigma$$

$$k\sigma = -\frac{1}{C_{(\rho)}} \frac{d^2 C_{(\rho)}}{d\rho^2}$$

$$\sigma = -\frac{1}{KC_{(\rho)}} \frac{d^2 C_{(\rho)}}{d\rho^2} \tag{3.31}$$

Pela Eq.3.13, temos que:

$$x = \begin{pmatrix} A^2 & 0 & 0 & 0 \\ 0 & -1 & 0 & 0 \\ 0 & 0 & -C_{(\rho)}^2 & 0 \\ 0 & 0 & 0 & -A^2 \end{pmatrix}$$

$$x = A^2 \begin{pmatrix} -C_{(\rho)}^2 \end{pmatrix} \begin{pmatrix} -A^2 \end{pmatrix}$$

$$x = A^4 C_{(\rho)}^2$$

$$A^2 C_{(\rho)} = \sqrt{x} \quad (3.32)$$

Fazendo a integral com rela33o a  $\rho$  e  $\theta$ , temos:

$$\begin{aligned} \mu &= \int_0^\infty d\rho \int_0^{2\pi} A^2 C_{(\rho)} \sigma d\theta \\ \mu &= \int_0^\infty d\rho \int_0^{2\pi} A^2 C_{(\rho)} \left( -\frac{1}{K C_{(\rho)}} \frac{d^2 C_{(\rho)}}{d\rho^2} \right) d\theta \\ \mu &= \int_0^{2\pi} A^2 \left( -\frac{1}{K} \right) d\theta \int_0^\infty \frac{d^2 C_{(\rho)}}{d\rho^2} d\rho \\ \mu &= -\frac{A^2}{K} \int_0^{2\pi} d\theta \frac{d^2 C_{(\rho)}}{d\rho^2} \int_0^\infty d\rho \\ \mu &= -\frac{2\pi A^2}{K} \left( \frac{dC_{(\rho)}}{d\rho} - 1 \right) \\ \mu &= -\frac{2\pi A^2}{\frac{8\pi G}{C_{(\rho)}^4}} \left( \frac{dC_{(\rho)}}{d\rho} - 1 \right) \\ \mu &= \frac{A^2 C_{(\rho)}^4}{4G} \left( 1 - \frac{dC_{(\rho)}}{d\rho} \right) \end{aligned}$$

Como  $C_{(\rho)}$  e  $A^2$  s3o constantes, podemos dizer que  $C_{(\rho)} = 1$  e  $A^2 = 1$ , ent3o:

$$\begin{aligned} \mu &= \frac{1}{4G} \left( 1 - \frac{dC_{(\rho)}}{d\rho} \right) \\ \frac{dC_{(\rho)}}{d\rho} &= 1 - 4G\mu \\ \int dC_{(\rho)} &= \int (1 - 4G\mu) d\rho \end{aligned}$$

$$C_{(\rho)} = (1 - 4G\mu) \rho \quad (3.33)$$

Portanto, temos que a *M3trica da Corda C3smica* 3:

$$\begin{aligned} ds^2 &= dt^2 - d\rho^2 - c_{(\rho)}^2 d\theta^2 - dz^2 \\ ds^2 &= dt^2 - d\rho^2 - [(1 - 4G\mu) \rho]^2 d\theta^2 - dz^2 \end{aligned}$$

$$ds^2 = dt^2 - d\rho^2 - (1 - 4G\mu)^2 \rho^2 d\theta^2 - dz^2$$

Chamando  $1 - 4G\mu = \alpha$ , temos:

$$ds^2 = dt^2 - d\rho^2 - \alpha^2 \rho^2 d\theta^2 - dz^2 \quad (3.34)$$

A Eq.3.34 3 a m3trica de uma corda c3smica, que fornece uma descri3o do espa3o-tempo ao redor de uma corda c3smica reta e infinitamente longa, onde:

- $ds^2$  3 o intervalo de espa3o-tempo.
- $t$  3 a coordenada temporal.
- $\rho$  e  $\theta$  s3o as coordenadas cil3ndricas perpendiculares 3 corda.
- $z$  3 a coordenada ao longo da corda (a corda 3 estendida ao longo do eixo  $z$ ).
- $\alpha$  3 a dimens3o angular em torno da corda.
- $\mu$  3 a densidade linear de massa

No 3ngulo  $\alpha$  3 onde ocorre a influ3ncia da corda c3smica. Se consideramos um espa3o-tempo plano sem cordas, a componente seria simplesmente  $r^2 d\theta^2$ . Por3m, com presen3a da corda c3smica, o espa3o-tempo 3 alterado pelo fator  $\alpha$ , que representa o *d3ficit angular*<sup>8</sup> causado pela corda, onde varia de:  $0 < \alpha \leq 1$ . Para descrevermos as cordas c3smicas idealizadas, ou seja, cordas c3smicas est3ticas, com distribui3o de m3teria infinita concentrada ao longo do eixo  $z$  e cuja a estrutura interna pode ser desprez3vel, usaremos o modelo de *Nielsen-Olesen* (Sousa e Lima 2017).

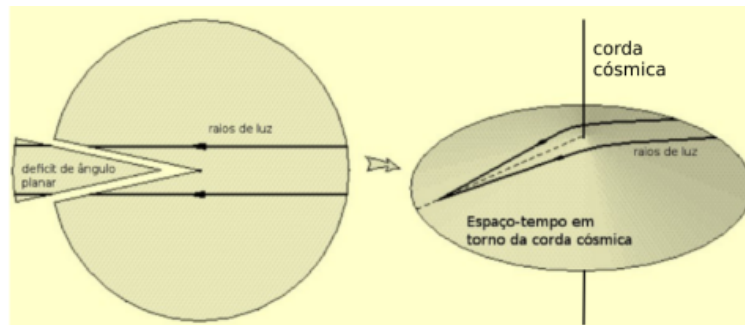


Figura 3.8: d3ficit de 3ngulo do espa3o-tempo. Fonte: (Santos et al. 2016).

Um outro fato potencialmente importante 3 que, devido 3 natureza c3nica do espa3o ao redor da corda c3smica, podem ser formadas imagens duplas de objetos localizados atr3s da corda c3smica. Este fen3meno 3 conhecido como lentes gravitacionais. Na forma3o de imagens duplas, podemos notar que o espa3o c3nico 3 formado pela retirada de uma regi3o corresponde ao 3ngulo  $\alpha$  do espa3o plano e depois identificando as bordas. Devido a isto, o observador ver3 duas imagens da fonte conforme a Fig.3.8 (Santos et al. 2016) .

Ao considerarmos uma part3cula pr3xima a Corda c3smica com diferentes d3fcits angulares, temos os seguintes gr3ficos:

<sup>8</sup>O d3ficit angular 3 uma medida de quanto o 3ngulo ao redor da corda c3smica 3 reduzido em compara3o com um c3rculo completo.

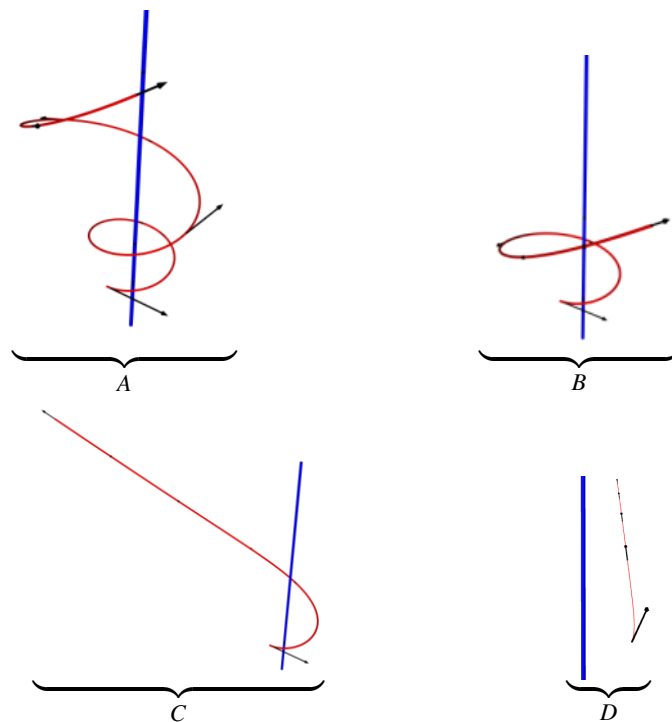


Figura 3.9: Trajet3rias da luz em torno de uma Corda c3smica com d3ficit angular em diferentes valores de  $\alpha$  . Fonte: autoria pr3pria.

Atrav3s da Eq.3.34 conseguimos obter o comportamento de um part3cula pr3xima a uma Corda c3smica. Onde na Fig 3.9.A,  $\alpha = 0.10$ ; na Fig 3.9.B,  $\alpha = 0.20$ ; na Fig 3.9.C,  $\alpha = 0.30$  e na Fig 3.9.D,  $\alpha = 0.90$ .

Uma Corda c3smica com d3ficit angular de 0,1 seria uma estrutura unidimensional que cria um “defeito c3nico” no espaço-tempo ao seu redor, fazendo com que o 3ngulo total ao redor da corda seja menor que  $2\pi$  em 0,1 radianos. Isso geraria efeitos como distorç3es visuais (lentes gravitacionais), poss3vel emiss3o de ondas gravitacionais, e influ3ncias sutis em observaç3es cosmol3gicas, como na radiaç3o c3smica de fundo. Esses efeitos tornam a detecç3o de cordas c3smicas uma quest3o empolgante na cosmologia moderna.

Uma Corda c3smica com d3ficit angular de 0,9 cria uma distorç3o no espaço-tempo ao seu redor, com um efeito de lente gravitacional forte e uma curvatura significativa do espaço-tempo. A separaç3o angular das imagens de objetos distantes seria significativo, tornando esse efeito mais f3cil de observar. A corda tamb3m poderia emitir ondas gravitacionais intensas, especialmente durante interaç3es, al3m de deixar marcas observ3veis na radiaç3o c3smica de fundo.

## Capítulo 4

# Interação entre o Buraco Negro de Schwarzschild e a Corda Cós mica

A relação entre um Buraco Negro de Schwarzschild e uma Corda cósmica pode ser estudada em termos de como esses dois objetos deformam o espaço-tempo e como interagem entre si. Se uma Corda cósmica passar nas proximidades de um Buraco Negro, a interação gravitacional entre eles pode alterar as propriedades observáveis de ambos. Por exemplo, a Corda cósmica pode influenciar a forma do Horizonte de eventos do Buraco Negro.

As equações de campo de Einstein na relatividade geral Eq.2.44 descrevem como a matéria e a energia influenciam a curvatura do espaço-tempo. Para descrever um Buraco Negro de Schwarzschild na presença de uma corda cósmica, podemos considerar soluções das equações de campo de Einstein que combinam os efeitos de ambos. A solução clássica para um Buraco Negro de Schwarzschild em coordenadas esféricas é dado pela Eq.3.1 que é a *Métrica de Schwarzschild*.

No caso de uma Corda cósmica, introduz-se um *déficit angular* no espaço-tempo que é dado pela Eq.3.33. A combinação dessas duas soluções envolve considerar um Buraco Negro de Schwarzschild com uma Corda cósmica passando por ele, o que resulta em uma métrica que pode ser expressa como:

$$ds^2 = \left(1 - \frac{2GM}{c^2 r}\right) c^2 dt^2 - \left(1 - \frac{2GM}{c^2 r}\right)^{-1} dr^2 - r^2 d\theta^2 - r^2 \sin^2 \theta d\phi^2$$

$$ds^2 = \left(1 - \frac{2GM}{c^2 r}\right) c^2 dt^2 - \left(1 - \frac{2GM}{c^2 r}\right)^{-1} dr^2 - r^2 d\theta^2 - (1 - 4G\mu)^2 r^2 \sin^2 \theta d\phi^2$$

$$ds^2 = \left(1 - \frac{2GM}{c^2 r}\right) c^2 dt^2 - \left(1 - \frac{2GM}{c^2 r}\right)^{-1} dr^2 - r^2 d\theta^2 - \alpha^2 r^2 \sin^2 \theta d\phi^2 \quad (4.1)$$

Na Eq.4.1, temos que os termos:

- **Termo Temporal:**  $\left(1 - \frac{2GM}{c^2 r}\right) c^2 dt^2$

Este termo permanece inalterado, representando a dilatação do tempo em torno do buraco negro.

- **Termo Radial:**  $-\left(1 - \frac{2GM}{c^2 r}\right)^{-1} dr^2$

Este termo também não é alterado pela presença da corda cósmica e descreve a curvatura radial do espaço-tempo.

- **Termo Angular Polar:**  $-r^2 d\theta^2$

Este termo representa a parte angular esférica da métrica e também não é alterado pela corda cósmica.

- **Termo Angular Azimutal:**  $-\alpha^2 r^2 \sin^2 \theta d\phi^2$

Este termo é onde o efeito da corda cósmica é incorporado. O fator  $\alpha^2$  representa o déficit angular causado pela corda cósmica.

Ao resolver as equações geodésicas, foi obtida a representação gráfica, da trajetória de partículas de luz nas proximidades de um buraco negro de Schwarzschild, sendo possível observar que em longas distâncias as trajetórias são elípticas semelhante a mecânica newtoniana; porém em curtas distâncias essas órbitas não se fecham, realizando uma trajetória no formato de *roseta*, devido aos efeitos gravitacionais intensos do Buraco Negro. Estas divergências do comportamento newtoniano se deve aos efeitos relacionados à teoria da Relatividade Geral de Einstein, que são mais significativos nas proximidades do Buraco Negro devido a curvatura do espaço-tempo, já em distâncias suficientemente longas, seus efeitos são insignificantes, se aproximando de seus análogos newtonianos (Carneiro 2023).

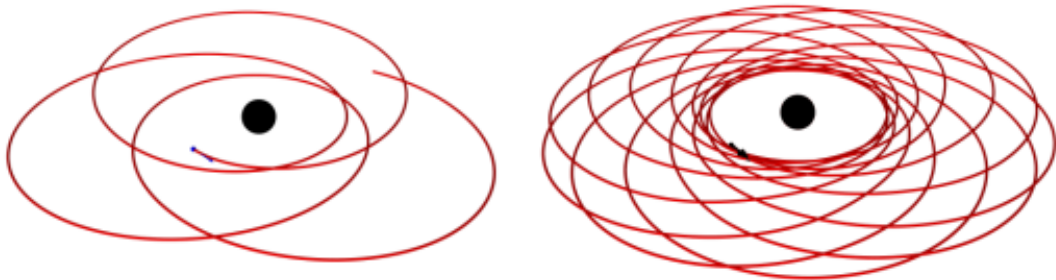


Figura 4.1: Representação gráfica de uma geodésica no espaço-tempo de Schwarzschild. Imagem à esquerda demonstrando detalhes da trajetória de uma partícula e à direita, órbita no formato de *roseta*. Fonte: (Carneiro 2023).

Porém, na presença de uma Corda cósmica as trajetórias da luz podem variar de acordo com o *déficit angular*, onde suas propriedades do espaço-tempo passam a ser descritas pela métrica dada na Eq.4.1.

#### 4.1 *déficit angular* $\alpha \leq 1$ :

Quando o déficit angular  $\alpha \leq 1$  isso significa que a Corda cósmica introduz uma pequena modificação na estrutura do espaço-tempo, onde o ângulo completo ao redor da corda cósmica, resulta em uma curvatura cônica.

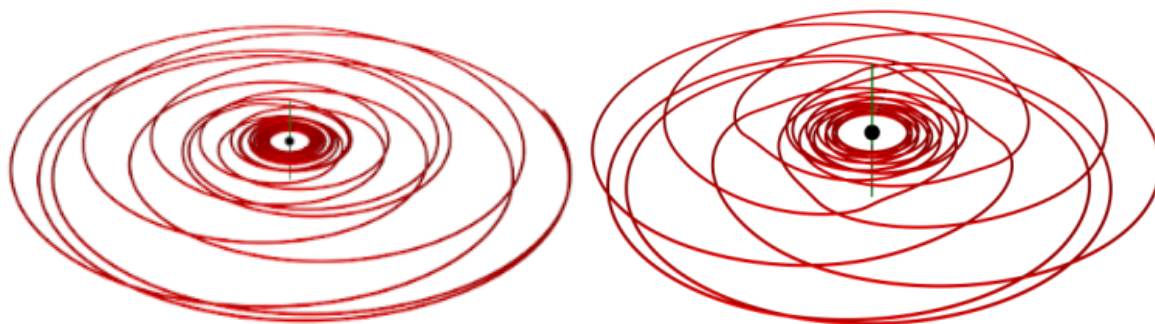


Figura 4.2: Partícula de luz interagindo com um Buraco Negro de Schwarzschild perfurado por uma corda cósmica. Fonte: autoria própria.

Na Fig.4.2 à esquerda, temos uma Corda cósmica com um *déficit angular* de  $\alpha = 0.1$  interagindo com um Buraco Negro de Schwarzschild. Tal que, uma partícula é capturada por essa interação e realiza órbitas elípticas ao redor desse Buraco Negro. O mesmo ocorre ao lado direito, onde temos um *déficit angular* de  $\alpha = 0.3$ . Porém neste situação o movimento orbital elíptico da partícula possuem algumas “curvas sinuosas”. Em ambas as situações podemos perceber que somente no ISCO a partícula mantém uma órbita constante e sem curvas sinuosas.

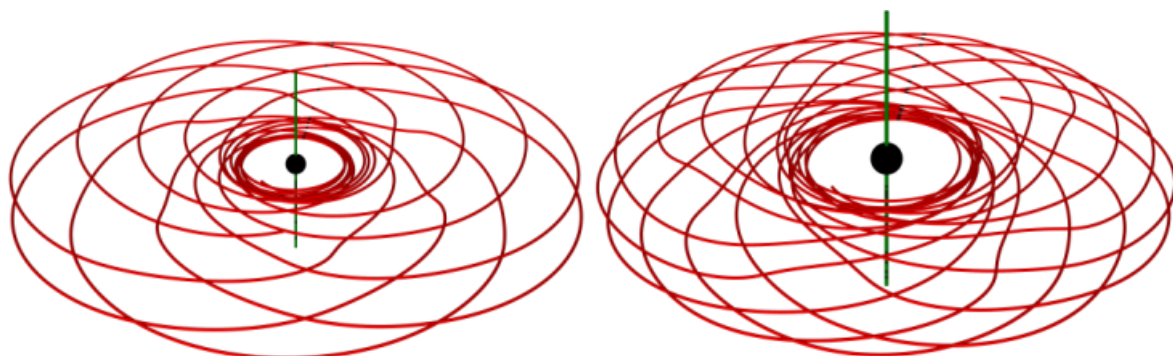


Figura 4.3: Partícula de luz interagindo com um Buraco Negro de Schwarzschild perfurado por uma corda cósmica. Fonte: autoria própria.

Os resultados obtidos na Fig.4.3, temos do lado esquerdo um *déficit angular* de  $\alpha = 0.5$  e do lado direito um *déficit angular* de  $\alpha = 0.9$ , onde ambas possuem curvas sinuosas.

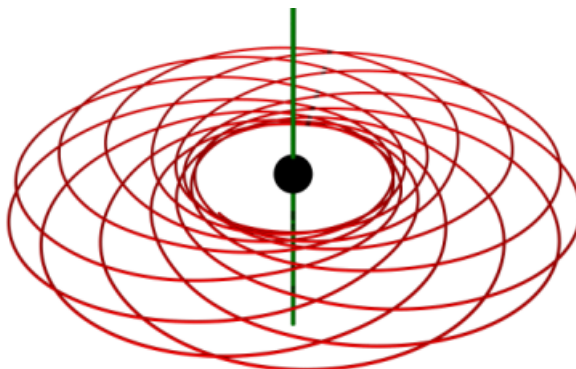


Figura 4.4: Partícula de luz interagindo com um Buraco Negro de Schwarzschild perfurado por uma corda cósmica. Fonte: autoria própria.

Na Fig.4.4 temos um *déficit angular* de  $\alpha = 1$ . Se o *déficit angular* é igual a 1, isso significa que não há Corda cósmica presente no espaço-tempo, pois implica que o espaço-tempo é usual, sem qualquer *déficit*. Nesse caso, a métrica 4.1 d retorna à sua forma padrão, ou seja,

$$ds^2 = \left(1 - \frac{2GM}{c^2 r}\right) c^2 dt^2 - \left(1 - \frac{2GM}{c^2 r}\right)^{-1} dr^2 - r^2 d\theta^2 - r^2 \sin^2 \theta d\phi^2$$

Aqui, a ausência do termo  $\alpha$  indica que o espaço-tempo não possui nenhum *déficit angular*, e estamos tratando apenas do espaço-tempo ao redor de um corpo esférico não rotativo e sem carga.

Neste caso, na Fig.4.4, pode-se notar que a partícula faz somente trajetórias elípticas, sem curvas sinuosas. Isso ocorre devido aos efeitos da Corda cósmica diminuírem com relação a atração de partículas na órbita próxima ao Buraco Negro de Schwarzschild.

## 4.2 *déficit angular* $\alpha > 1$ :

Ao colocarmos uma partícula próxima a um Buraco Negro de Schwarzschild com uma corda cósmica que tenha um “excesso” angular (ou seja, um fator  $\alpha > 1$ ), o comportamento da partícula será influenciado tanto pelo campo gravitacional do buraco negro quanto pela modificação angular introduzida pela corda cósmica. No contexto usual de Cordas cósmicas, esse *déficit angular* não é fisicamente significativo. Portanto, a Métrica de Schwarzschild 4.1 com um *déficit angular* maior que 1 não tem uma interpretação física direta no contexto de Cordas cósmicas e não corresponde a uma situação que ocorre naturalmente. A exploração dessa situação necessita de uma extensão ou uma modificação significativa das teorias da Relatividade Geral e dos Defeitos Topológicos.

No entanto, ao considerarmos  $\alpha > 1$  de forma hipotética, trabalhamos essencialmente com um tipo diferente de modificação do espaço-tempo que não corresponde à Física convencional das Cordas cósmicas. Onde nesta situação, a partícula se afasta do Buraco Negro de Schwarzschild como mostra a Fig.4.5.

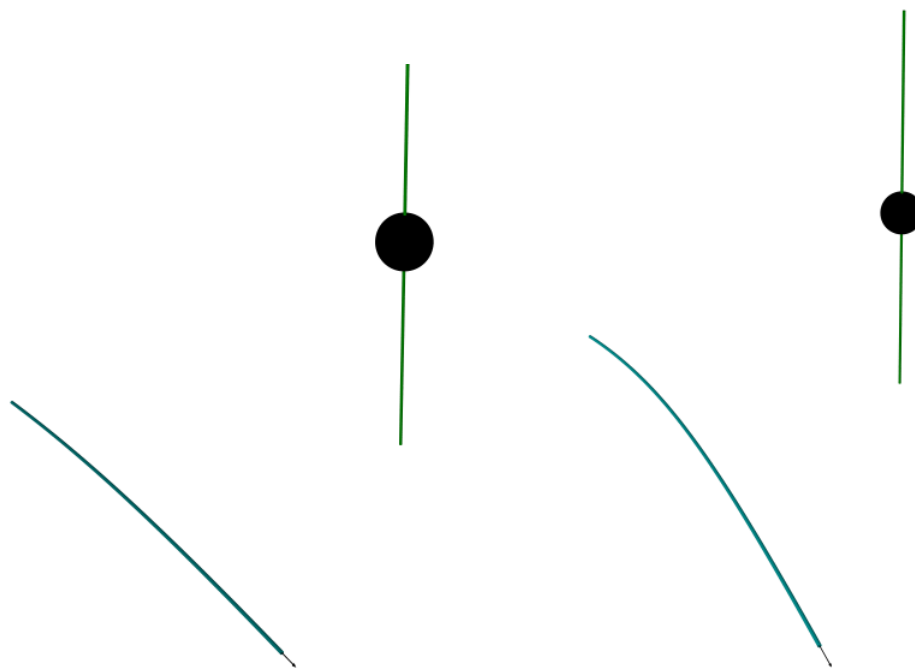


Figura 4.5: Fonte: autoria própria.

Na Fig.4.5, ao lado esquerdo temos um *déficit angular*  $\alpha = 1.2$  e ao lado direito um *déficit angular*  $\alpha = 1.4$ . Tal que esse afastamento da partícula ocorre devido a modificação na geometria do espaço-tempo causada pelo *déficit angular*.

# Capítulo 5

## Conclusões

Portanto, de acordo a pesquisa publicada no “*The Astrophysical Journal Letters*” pelos Físicos *Mark R. Morris, Jun-Hui Zhao* e *W. M. Goss*, onde conseguiram identificar um filamento de rádio próximo ao Buraco Negro *Sagittarius A\** 1.1, na qual segundo o resultado dessa pesquisa, esse filamento pode ser uma manifestação de uma Corda cósmica. Assim, apresentamos o estudo da interação entre um Buraco Negro de Schwarzschild com uma Corda cósmica. Podemos demonstrar como seria essa interação para diferentes *déficits angulares*.

Inicialmente tivemos que fazer um estudo sobre a Teoria da Relatividade Geral até chegarmos na *Equação de Campo de Einstein* Eq.2.44. Onde a partir desta que o Físico *Karl Schwarzschild* conseguiu deduzir a primeira solução dessas equações, que é a Métrica de Schwarzschild 3.1, na qual descreve um Buraco Negro esfericamente simétrico e sem rotação, conhecido como *Buraco Negro de Schwarzschild*.

Após uma análise de como é um *Buraco Negro de Schwarzschild*, discutimos as *Órbitas Circulares Estáveis mais Internas (ISCO)* que é o limite onde uma partícula pode circular um Buraco Negro sem que ela seja “sugada” para o disco de acreção, e logo após, para o Raio de Schwarzschild (Horizonte de Eventos), como mostra a Fig.3.6. Tal que, no nosso trabalho, quando o Buraco Negro interage com a Corda cósmica, a partícula sente os efeitos dessa interação somente até o ISCO, e não colapsa no Buraco Negro. No entanto, a partícula não fica orbitando somente no ISCO, ela também orbita nas Proximidades do Buraco Negro de Schwarzschild, onde devido a curvatura do espaço-tempo, essa órbita não é perfeitamente esférica e sim elíptica na forma de roseta, como mostra a Fig.3.7.

Ao relacionarmos equação da Corda cósmica Eq.3.34 com a Métrica de Schwarzschild 3.1, chegamos na Eq.4.1, onde o *déficit angular*  $\alpha$  determinou como é o comportamento de uma partícula na interação entre o Buraco Negro de Schwarzschild com uma Corda cósmica. Tal que os resultados obtidos nas Fig's.4.2 e 4.3, para um *déficit angular*  $\alpha < 1$ , mostram curvas sinuosas com essa interação. Onde esses resultados são similares aos que foram publicados por *Mark R. Morris, Jun-Hui Zhao* e *W. M. Goss*.

As perspectivas sobre o estudo da interação entre Buracos Negros e Cordas cósmicas são bastante promissoras, tanto em termos de teoria quanto de observação. No entanto, esses avanços dependem de como a ciência e a tecnologia progredem nos próximos anos. Atualmente, ainda não temos provas concretas da existência de Cordas cósmicas, mas elas podem deixar marcas relevantes no universo.

---

Um dos maiores desafios da Física é unir a Mecânica quântica com a Relatividade geral. Cordas cósmicas, que estão previstas em várias teorias de unificação, como a teoria das cordas e Buracos Negros, podem oferecer um terreno fértil para investigar a gravidade em um regime quântico.

Para efeitos de pesquisa, realizamos o comportamento da partícula para um *déficit angular*  $\alpha > 1$ , que de acordo com os resultados obtidos na Fig. 4.5 a partícula tende a se afastar do Buraco Negro de Schwarzschild devido a modificação na geometria do espaço-tempo.

# Referências Bibliográficas

- ACEVEDO, O. A.; MORAIS, E. M. de. *The Equivalence Principle*. [S.l.]: Sociedade Brasileira de Física, 2019.
- AFRANCHI, L. Aplicación de los símbolos de christoffel en la teoría relativista. 2022.
- ALMEIDA, C. R. Buracos negros: mais de 100 anos de história. *Cadernos de Astronomia*, Universidade Federal do Espírito Santo, v. 2, p. 93, 1 2021.
- BERGLIAFFA, S. E. P. Introdução à física dos buracos negros. *Cadernos de Astronomia*, v. 4, n. 1, p. 49–66, 2023.
- BRODERICK, A. E.; LOEB, A. The event horizon of sagittarius a. *Astrophysical Journal*, Institute of Physics Publishing, v. 701, p. 1357–1366, 2009. ISSN 15384357.
- CARNEIRO, M. de F. *UNIVERSIDADE FEDERAL RURAL DE PERNAMBUCO*. 2023.
- CAVALCANTE, D.; GNIPPER, P. Cordas cósmicas: fissuras no universo podem ter sido detectadas - canaltech. 2023.
- COLLABORATION, E. H. T. et al. First sagittarius a\* event horizon telescope results. i. the shadow of the supermassive black hole in the center of the milky way. *The Astrophysical Journal Letters*, American Astronomical Society, v. 930, p. L12, 5 2022. ISSN 2041-8205.
- CROWELL, B. *GENERAL RELATIVITY*. [s.n.], 2024. Disponível em: <<https://LibreTexts.org>>.
- ESPINOSA, L. C. L. Linhas de emissão de discos de acreção ao redor de buracos negros. 2022.
- FATELO by J. P.; ESTG, N. M. ferreira. *Curvas Geodésicas em Superfícies*. 2014. Disponível em: <<http://cdrsp.ipleiria.pt>>.
- GORODETSKAYA, Y. Estudo de noção de transporte paralelo sobre uma superfície dinâmica com aplicações na relatividade geral. 2015.
- GROSSMANN, C. Ciclo de vida estelar - o ciclo de vida das estrelas. *Hypescience*, 2012.
- HOSTI, B. P. Cygnus x-1 - o primeiro buraco negro descoberto. *Espaço-Tempo*, 2021.
- LAMBOURNE, R. J. *Lambourne Relativity, Gravitation and Cosmology*. [S.l.: s.n.], 2010.
- LOBO, M. P. *No interior do horizonte de um buraco negro de Schwarzschild*. 2006.
- MACHADO, R. R. *Uma dedução heurística da métrica de Schwarzschild*. Tese (Doutorado) — Dissertação de Mestrado, Universidade Federal do Rio de Janeiro, Rio de Janeiro, 2016.

MACHADO, R. R.; TORT, A. C. Michell, laplace e as estrelas negras: uma abordagem para professores do ensino médio. *Revista Brasileira de Ensino de Física*, FapUNIFESP (SciELO), v. 38, 6 2016.

MANFIO, F. Geometria riemanniana. *Notas de Aula, ICMC-USP*.

MEDEIROS, L. et al. The image of the m87 black hole reconstructed with primo. *The Astrophysical Journal Letters*, The American Astronomical Society, v. 947, n. 1, p. L7, apr 2023. Disponível em: <<https://dx.doi.org/10.3847/2041-8213/acc32d>>.

MORRIS, M.; ZHAO, J.-H. A nonthermal radio filament connected to the galactic black hole? *The Astrophysical Journal Letters*, v. 850, n. 2, p. L23, 2017.

NASCIMENTO, L. *Derivação dos Símbolos de Christoffel via Formalismo Lagrangeano*. 2019. 3-8 p.

RIBEIRO, M. B.; VIDEIRA, A. A. P. *Cosmologia: uma Ciência Especial? Algumas Considerações sobre as Relações entre a Cosmologia Moderna, Filosofia e Teologia*. [S.l.: s.n.], 2011. 45 p. ISBN 9788535627688.

ROCHA, W. J. d. Configurações de corda cósmica em uma teoria alternativa da gravitação. 2009.

SANTOS, A. d. P. et al. Influência das cordas cósmicas não-abelianas na geometria do espaço-tempo. Universidade Federal da Paraíba, 2016.

SCARPIN, J. de A. Estudo das propriedades de buracos negros de schwarzschild e de kerr. 2022.

SILVA, A. L. B. B. G. d. Desvio do periélio de mercúrio na relatividade geral. Universidade Estadual Paulista (Unesp), 2018.

SOARES, D. *Os fundamentos físico-matemáticos da cosmologia relativista (Physico-mathematical foundations of relativistic cosmology)*. 2013.

SOUSA, G. M. A. Dedução das equações de campo de einstein. 2008. Disponível em: <<https://www.researchgate.net/publication/282151922>>.

SOUSA, M.; LIMA, A. Uma discussão sistemática sobre as cordas cósmicas e o modelo de vórtices abelianos proposto por nielsen e olesen. *Revista Brasileira de Ensino de Física*, SciELO Brasil, v. 40, 2017.

SOUZA, R. E. D. *Introdução à cosmologia*. [S.l.]: Edusp, 2004.

TUTIDA, H. Y. L. *Dedução das Equações de Einstein pelo Formalismo Lagrangiano*. 2021.

WÜRZ, G. *Buracos negros de Schwarzschild e de Kerr: uma abordagem usando o Python*. 2022.